

# Peatükk 6

## Elastsussteooria tasandülesanne

### *6.1. Tasandülesande mõiste*

*6 - 2*

### 6.1 Tasandülesande mõiste

Selleks, et iseloomustada *pingust* või *deformatsiooni elastse keha punktis* kasutatakse peapinge ja peadeformatsiooni mõistet. Pinguse puhul eristatakse järgmiskolme juhtu:

- *ruumpingus* — kõik kolm peapinget on nullist erinevad;
- *tasandpingus* — kaks peapinget on nullist erinevad;
- *joonpingus* — vaid üks peapinge on nullist erinev.

Analoogiliselt, st. läbi peadeformatsioonide, defineeritakse *ruum-, tasand- ja joondeformatsiooni*.

Üldjuhul võib nii pinguse kui deformatsiooni iseloom olla keha erinevates punktides erinev. Kui igas keha punktis on pingus (deformatsioon) sama iseloomuga siis öeldakse, et kehas on *ühlane pingus (deformatsioon)*.

Elastsussteooria ülesannet nimetatakse *tasandülesandeks* (ehk tasapinnaliseks ülesandeks) kui deformatsioon või pinge on kogu keha ulatuses tasapinnaline.

## 6.2 Tasanddeformatsioon

Vaadeldaval juhul on kõigis keha punktides deformatsioon tasapinnaline, st. üks peadeformatsioonidest on null. *Tasanddeformatsioon saab tekkida kui siirded*

$$u = u(x, y), \quad v = v(x, y), \quad w = 0. \quad (6.1)$$

Vastavalt Cauchy seostele (3.6)

$$\begin{cases} \varepsilon_x = \frac{\partial u}{\partial x}, & \varepsilon_y = \frac{\partial v}{\partial y}, & \varepsilon_z = \frac{\partial w}{\partial z} = 0, \\ \gamma_{xy} = \frac{\partial u}{\partial y} + \frac{\partial v}{\partial x}, & \gamma_{yz} = \frac{\partial v}{\partial z} + \frac{\partial w}{\partial y} = 0, & \gamma_{xz} = \frac{\partial u}{\partial z} + \frac{\partial w}{\partial x} = 0. \end{cases} \quad (6.2)$$

Selline deformatsiooniseisund tekib pikas kehas, millele mõjub keha pinnaga (z-teljega) ristuv koormus.

*Näiteks:* pikk tugisein; (metroo)tunnel; pikk radiaalselt surutud völl; pika plaadi pil silindriline paine (NB! Saint Venant'i printsip).

### 6.2. Tasanddeformatsioon

Pingete leidmiseks kasutame üldistatud Hooke'i seadust nn. pöördkujul (3.31):

$$\begin{cases} \sigma_x = \lambda\theta + 2\mu\varepsilon_x = (\lambda + 2\mu)\varepsilon_x + \lambda\varepsilon_y, & \tau_{xy} = \mu\gamma_{xy}, \\ \sigma_y = \lambda\theta + 2\mu\varepsilon_y = \lambda\varepsilon_x + (\lambda + 2\mu)\varepsilon_y, & \tau_{yz} = \mu\gamma_{yz} = 0, \\ \sigma_z = \lambda\theta + 2\mu\varepsilon_z = \lambda(\varepsilon_x + \varepsilon_y), & \tau_{zx} = \mu\gamma_{zx} = 0. \end{cases} \quad (6.3)$$

Teisest küljest, arvestades Hooke'i seadust kujul (3.23), peab

$$\varepsilon_z = \frac{1}{E} [\sigma_z - \nu(\sigma_x + \sigma_y)] = 0,$$

kust saame

$$\sigma_z = \nu(\sigma_x + \sigma_y).$$

Kuna siirded  $u$  ja  $v$  sõltuvad vaid koordinaatidest  $x$  ja  $y$ , siis avaldiste (6.2) ja (6.3) põhjal ka pinge  $\sigma_z$  sõltub vaid koordinaatidest  $x$  ja  $y$ .

Tasakaaluvõrrandid (5.5):

$$\begin{cases} \frac{\partial \sigma_x}{\partial x} + \frac{\partial \tau_{yx}}{\partial y} + \frac{\partial \tau_{zx}}{\partial z} + X = 0, \\ \frac{\partial \tau_{xy}}{\partial x} + \frac{\partial \sigma_y}{\partial y} + \frac{\partial \tau_{zy}}{\partial z} + Y = 0, \\ \frac{\partial \tau_{xz}}{\partial x} + \frac{\partial \tau_{yz}}{\partial y} + \frac{\partial \sigma_z}{\partial z} + Z = 0. \end{cases}$$

Arvestades ülesande sisu jäab järgi kaks võrrandit

$$\begin{cases} \frac{\partial \sigma_x}{\partial x} + \frac{\partial \tau_{yx}}{\partial y} + X = 0, \\ \frac{\partial \tau_{xy}}{\partial x} + \frac{\partial \sigma_y}{\partial y} + Y = 0, \end{cases} \quad (6.4)$$

kusjuures ka mahujõud  $Z = 0$ .

### *6.2. Tasanddeformatsioon*

Rajatingimustest (4.5)

$$\begin{cases} p_{\nu x} = \sigma_x l + \tau_{yx} m + \tau_{zx} n, \\ p_{\nu y} = \tau_{xy} l + \sigma_y m + \tau_{zy} n, \\ p_{\nu z} = \tau_{xz} l + \tau_{yz} m + \sigma_z n \end{cases}$$

jääb samuti alles 2 esimest võrrandit —

$$\begin{cases} p_{\nu x} = \sigma_x l + \tau_{yx} m, \\ p_{\nu y} = \tau_{xy} l + \sigma_y m; \end{cases} \quad (6.5)$$

- keha külgpind on paralleelne  $z$ -tejega ning seetõttu normaali suunakooinus  $n = 0$ ;
- $p_{\nu z} = 0$  kuna muidu poleks meil tasanddeformatsiooni.

## Pidevusvõrranditest deformatsioonides (3.19)

$$\left\{ \begin{array}{l} \frac{\partial^2 \varepsilon_x}{\partial y^2} + \frac{\partial^2 \varepsilon_y}{\partial x^2} = \frac{\partial^2 \gamma_{xy}}{\partial x \partial y}, \\ \frac{\partial^2 \varepsilon_y}{\partial z^2} + \frac{\partial^2 \varepsilon_z}{\partial y^2} = \frac{\partial^2 \gamma_{yz}}{\partial y \partial z}, \\ \frac{\partial^2 \varepsilon_z}{\partial x^2} + \frac{\partial^2 \varepsilon_x}{\partial z^2} = \frac{\partial^2 \gamma_{xz}}{\partial x \partial z}, \\ \frac{\partial}{\partial x} \left( \frac{\partial \gamma_{xz}}{\partial y} + \frac{\partial \gamma_{xy}}{\partial z} - \frac{\partial \gamma_{yz}}{\partial x} \right) = 2 \frac{\partial^2 \varepsilon_x}{\partial y \partial z}, \\ \frac{\partial}{\partial y} \left( \frac{\partial \gamma_{xy}}{\partial z} + \frac{\partial \gamma_{yz}}{\partial x} - \frac{\partial \gamma_{xz}}{\partial y} \right) = 2 \frac{\partial^2 \varepsilon_y}{\partial x \partial z}, \\ \frac{\partial}{\partial z} \left( \frac{\partial \gamma_{yz}}{\partial x} + \frac{\partial \gamma_{xz}}{\partial y} - \frac{\partial \gamma_{xy}}{\partial z} \right) = 2 \frac{\partial^2 \varepsilon_z}{\partial x \partial y} \end{array} \right.$$

jääb alles vaid esimene

$$\frac{\partial^2 \varepsilon_x}{\partial y^2} + \frac{\partial^2 \varepsilon_y}{\partial x^2} = \frac{\partial^2 \gamma_{xy}}{\partial x \partial y}. \quad (6.6)$$

### 6.3 Tasandpingus

Vaatleme olukorda, kus kõigis keha punktides üks peapingetest on null. Sellisel juhul saame valida Descartes'i ristkoordinaadid nii, et

$$\sigma_x = \sigma_x(x, y), \quad \sigma_y = \sigma_y(x, y), \quad \tau_{xy} = \tau_{xy}(x, y), \quad \sigma_z = \tau_{xz} = \tau_{yz} = 0. \quad (6.7)$$

Selline pingus tekib näiteks õhukeses plaadis, millele mõjub servades rakendatud koormus, mis on risti  $z$ -teljega.

Üldistatud Hooke'i seadusest (3.23) saame

$$\left\{ \begin{array}{l} \varepsilon_x = \frac{1}{E} [\sigma_x - \nu(\sigma_y + \sigma_z)] = \frac{\sigma_x - \nu \sigma_y}{E}, \quad \gamma_{xy} = \frac{\tau_{xy}}{G}, \\ \varepsilon_y = \frac{1}{E} [\sigma_y - \nu(\sigma_z + \sigma_x)] = \frac{\sigma_y - \nu \sigma_x}{E}, \quad \gamma_{yz} = \frac{\tau_{yz}}{G} = 0, \\ \varepsilon_z = \frac{1}{E} [\sigma_z - \nu(\sigma_x + \sigma_y)] = -\nu \frac{\sigma_x + \sigma_y}{E}, \quad \gamma_{zx} = \frac{\tau_{zx}}{G} = 0. \end{array} \right. \quad (6.8)$$

\*joon  
nis

Tasakaaluvõrandid on tasandpinguse korral samad kui olid tasanddeformatsiooni korral, st. esitatud kujul (6.4).

## 6.4 Tasandülesande lahendamine pingetes

Väga sageli lahendatakse elastsussteooria ülesanded pingetes, sest sellel meetodil on võrreldes siretes lahendamisega mõned eelised:

- sageli ongi ülesande lahendina vaja leida vaid pingeid, siirded on teisejärgulise tähtsusega ning neid polegi vaja leida,
- üldjuhul on sirete avaldised võrreldes pingete avaldisega tunduvalt keerukamad.

*Tundmatud:* pingetensori komponendid  $\sigma_x$ ,  $\sigma_y$  ja  $\tau_{xy}$ .

### 6.4. Tasandülesande lahendamine pingetes

Esmalt peame pidavustingimuse (6.6)

$$\frac{\partial^2 \varepsilon_x}{\partial y^2} + \frac{\partial^2 \varepsilon_y}{\partial x^2} = \frac{\partial^2 \gamma_{xy}}{\partial x \partial y}.$$

avalдama pingetes. Selleks kasutame üldistatud Hooke'i seadust kujul (6.8) kust leiate vajalikud osatuletised läbi pingete:

$$\begin{cases} \frac{\partial^2 \varepsilon_x}{\partial y^2} = \frac{1}{E} \left( \frac{\partial^2 \sigma_x}{\partial y^2} - \nu \frac{\partial^2 \sigma_y}{\partial y^2} \right), \\ \frac{\partial^2 \varepsilon_y}{\partial x^2} = \frac{1}{E} \left( \frac{\partial^2 \sigma_y}{\partial x^2} - \nu \frac{\partial^2 \sigma_x}{\partial x^2} \right), \\ \frac{\partial^2 \gamma_{xy}}{\partial x \partial y} = \frac{1}{G} \frac{\partial^2 \tau_{xy}}{\partial x \partial y} = \frac{2(1+\nu)}{E} \frac{\partial^2 \tau_{xy}}{\partial x \partial y}. \end{cases} \quad (6.9)$$

Seega saab pidavustingimus kuju

$$\left( \frac{\partial^2 \sigma_x}{\partial y^2} - \nu \frac{\partial^2 \sigma_y}{\partial y^2} \right) + \left( \frac{\partial^2 \sigma_y}{\partial x^2} - \nu \frac{\partial^2 \sigma_x}{\partial x^2} \right) = 2(1+\nu) \frac{\partial^2 \tau_{xy}}{\partial x \partial y}. \quad (6.10)$$

Viimasesest avaldisest saab tasakaaluvoorrändite (6.4) abil eliminiseerida nihkepinge. Selleks differentseerime (6.4)<sub>1</sub>  $x$  järgi ja (6.4)<sub>2</sub>  $y$  järgi

$$\begin{cases} \frac{\partial^2 \tau_{yx}}{\partial x \partial y} = -\frac{\partial^2 \sigma_x}{\partial x^2} - \frac{\partial X}{\partial x}, \\ \frac{\partial^2 \tau_{xy}}{\partial x \partial y} = -\frac{\partial^2 \sigma_y}{\partial y^2} - \frac{\partial Y}{\partial y}. \end{cases} \quad (6.11)$$

Eeldades, et mahujõu on konstantsed, saame viimaste liitmise tulemusena

$$2 \frac{\partial^2 \tau_{yx}}{\partial x \partial y} = -\frac{\partial^2 \sigma_x}{\partial x^2} - \frac{\partial^2 \sigma_y}{\partial y^2}. \quad (6.12)$$

Asendades viimase tulemuse pidenvustingimusse (6.10) saame peale teisendusi

$$\frac{\partial^2(\sigma_x + \sigma_y)}{\partial x^2} + \frac{\partial^2(\sigma_x + \sigma_y)}{\partial y^2} = 0. \quad (6.13)$$

Kasutades Laplace'i operaatorit  $\nabla^2$  saame väljendada *tasandülesande pidenvustingimuse pingetes* kujul

$$\nabla^2(\sigma_x + \sigma_y) = 0. \quad (6.14)$$

#### **6.4. Tasandülesande lahendamine pingetes**

Tasandülesande lahendamine pingetes lihtsusustub oluliselt kui tuua sisse *Airy' pingefunktsoon*  $\varphi(x, y)$ , mis on seotud pingekomponentidega järgmisel kujul:

$$\sigma_x = \frac{\partial^2 \varphi}{\partial y^2}; \quad \sigma_y = \frac{\partial^2 \varphi}{\partial x^2}; \quad \tau_{yx} = -\frac{\partial^2 \varphi}{\partial x \partial y} - XY - YX, \quad (6.15)$$

kus  $X$  ja  $Y$  on konstantsed mahujõud. Alternatiivne võimalus siduda pingekomponendid ja pingefunktsoon:

$$\sigma_x = \frac{\partial^2 \varphi}{\partial y^2} - Xx; \quad \sigma_y = \frac{\partial^2 \varphi}{\partial x^2} - Yy; \quad \tau_{yx} = -\frac{\partial^2 \varphi}{\partial x \partial y}. \quad (6.16)$$

Nii (6.15) kui (6.16) korral on tasakaaluvoorrändid (6.4) automaatselt rahuldatud. Pannes selliselt definieritud pingekomponendid pidenvustingimusse (6.14) saame *biharmonilise vörrandi*

$$\nabla^2 \left( \frac{\partial^2 \varphi}{\partial x^2} + \frac{\partial^2 \varphi}{\partial y^2} \right) = \nabla^2 (\nabla^2 \varphi) = 0. \quad (6.17)$$

Lahiti kirjutatult saab viimane kuju

$$\frac{\partial^4 \varphi}{\partial x^4} + 2 \frac{\partial^4 \varphi}{\partial x^2 \partial y^2} + \frac{\partial^4 \varphi}{\partial y^4} = 0. \quad (6.18)$$

Funktsiooni, mis rahuldab biharmonilist võrrandit (6.17) või (6.18) nimetatakse **biharmoniliseks funktsiooniks**.

Kuna tasakaaluvõrandid on antud juhul automaatselt rahuldatud, siis taan-dub tasandülesande lahendamine pingetes neljandat jäärku osatuletistega dife-rentsiaalvõrandi lahendamisele. Siinjuures tuleb loomulikult arvesse võtta ping-e-tes antud ääretingimusi. Peale pingefunktsiooni leidmisi määratatakse pingensori komponendid (näiteks avaldistest (6.15)). Seejärel saab tildistatud Hooke'i seadu-se abil leida deformatsioonikomponendid ja Cauchy seostest siirdekomponendid.

Tegelikult on pingefunktsiooni leidmine mitmel juhul suhteliselt lihtne. Vasta-vat meetodit võib nimetada **poolvastupidiseks meetodiks**. Selle põhjal antakse pingefunktsioon ette kas polünoomina või trigonomeetrilise reana, mis sisalda-vad määramata konstante. Viimased määratatakse ülesande lahendamise käigus ääretingimuste ja biharmonilise võrandi abil.

#### *6.5. Biharmonilise võrrandi lahendamine polünoomides*

## 6.5 Biharmonilise võrrandi lahendamine polünoomides

Kui väljendada Airy funktsioon polünoomina

$$\begin{aligned} \varphi = & \left( \frac{a_2}{2} x^2 + b_2 x y + \frac{c_2}{2} y^2 \right) + \left( \frac{a_3}{3 \cdot 2} x^3 + \frac{b_3}{2} x^2 y + \frac{c_3}{2} x y^2 + \frac{d_3}{3 \cdot 2} y^3 \right) + \\ & + \left( \frac{a_4}{4 \cdot 3} x^4 + \frac{b_4}{3 \cdot 2} x^3 y + \frac{c_4}{2} x^2 y^2 + \frac{d_4}{3 \cdot 2} x y^3 + \frac{e_4}{4 \cdot 3} y^4 \right) + \dots \end{aligned} \quad (6.19)$$

saab konstrueerida terve rea tasandülesande lahendusi. Vaadeldav lähenemisvis on rakendatav kui uuritakse ristikülikuli plaate või talasid. Mahujõud, k.a. keha kaal, hülgame. Käesolevas alajaotuses vaatleme talasid, mille pikkus on  $l$ , kõrgus  $2c$  ja laius 1. Tala teljeks on  $x$ -telg ja  $y$  telg on suunatud alla. Kuna lineaarses elastsusteoorias kehtib superpositiooni printsip, siis vaatleme algul polünoome kuni 5. astmeni eraldi. Järgmises alajaotuses konstrueerime saadud tulemuste abil erinevaid lahendeid.

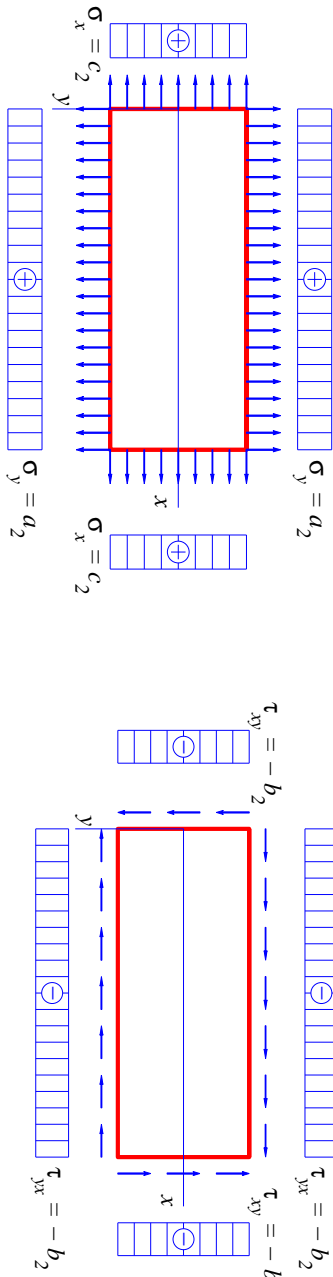
**A) Ruutpolünoom**

$$\varphi_2 = \frac{a_2}{2}x^2 + b_2xy + \frac{c_2}{2}y^2. \quad (6.20)$$

Sellise valiku puhul on biharmoniline võrrand (6.18) automaatsest rahuldatud. Mahujõude hulgamise puhul saame avaldistest (6.15) pingekomponendid kujul

$$\sigma_x = c_2; \quad \sigma_y = a_2; \quad \tau_{xy} = -b_2. \quad (6.21)$$

Selline pingeseisund tähendab  $a_2 > 0$ ,  $b_2 > 0$  ja  $c_2 > 0$  puhul ühtlast tõmmet kaheks ristuvas sihis koos ühtlase nihkega. Vastavad rajatingimused on esitatud



Joonis 6.1: Ruutpolünoomile vastavad rajatingimused.

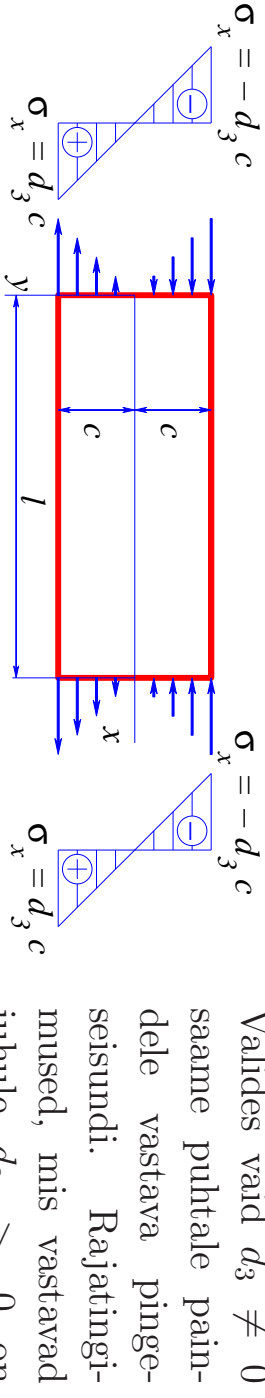
joonisel 6.1. Võttes osa polünoomi koefitsiente võrdseks nulliga, saab rajatingimus varieerida.

**6.5. Biharmonilise võrrandi lahendamine polünoomides****B) Kuuppolünoom**

$$\varphi_3 = \frac{a_3}{3 \cdot 2}x^3 + \frac{b_3}{2}x^2y + \frac{c_3}{2}xy^2 + \frac{d_3}{3 \cdot 2}y^3. \quad (6.22)$$

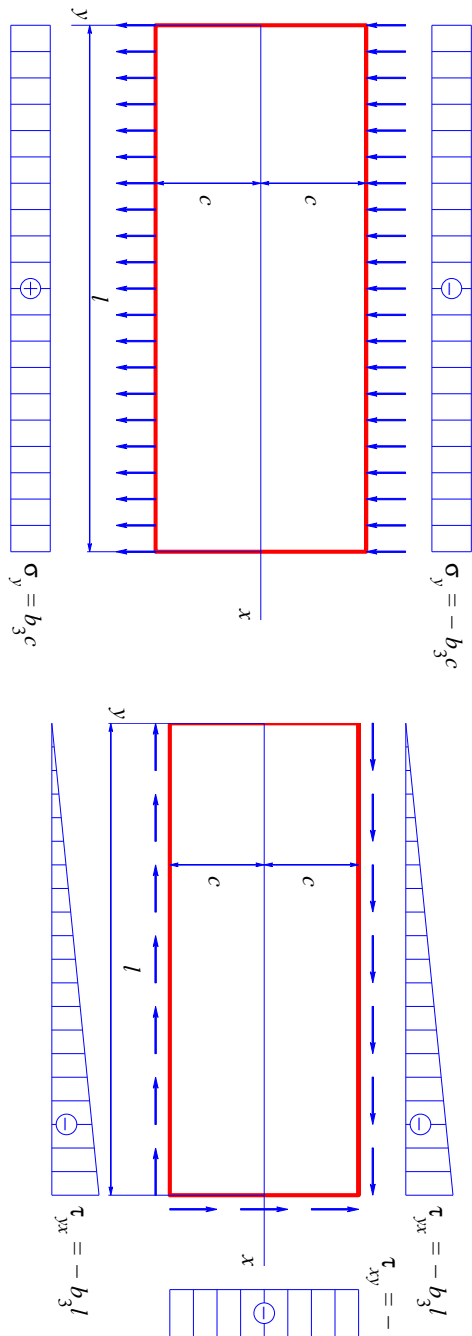
Ka antud juhul on biharmoniline võrrand (6.18) automaatselt rahuldatud. Pingeavaldiste (6.15) põhjal aga

$$\sigma_x = c_3x + d_3y; \quad \sigma_y = a_3x + b_3y; \quad \tau_{xy} = -b_3x - c_3y. \quad (6.23)$$



Joonis 6.2: Kuuppolünoomile vastavad rajatingimused:  $d_3 \neq 0$ ,  $a_3 = b_3 = c_3 = 0$ .

Valides vaid  $b_3 \neq 0$  saame pingeseisundi, mille korral pindadel  $y = \pm c$  mõjuvad pingid  $\sigma_y = \pm b_3c$  ja  $\tau_{yx} = -b_3x$  ning pinnal  $x = l$  pingi  $\tau_{xy} = -b_3l$ . Juhu  $b_3 > 0$  jaoks on vastavad rajatingimused esitatud joonisel 6.3.



Joonis 6.3: Kuupolünoomile vastavad rajatingimused:  $b_3 \neq 0$ ,  $a_3 = c_3 = d_3 = 0$ .

Muud võimalused:

- Vaid  $c_3 \neq 0$  ...
- Vaid  $a_3 \neq 0$  ...
- Jne. ...

Teist ja kolmandat jäärku polünoomide puhul pole vaja esitada täiendavaid kit-

#### *6.5. Biharmonilise võrrandi lahendamine polünoomides*

6 - 18

sendusi polünoomide koefitsentidele, sest biharmoniline võrrand oli automaatsetl rahuldatud. Kõrgemat jäärku polünoomide puhul pole asi aga enam nii lihtne.

C) Neljandat jäärku polünoom

$$\varphi_4 = \frac{a_4}{4 \cdot 3} x^4 + \frac{b_4}{3 \cdot 2} x^3 y + \frac{c_4}{2} x^2 y^2 + \frac{d_4}{3 \cdot 2} x y^3 + \frac{e_4}{4 \cdot 3} y^4. \quad (6.24)$$

Nüüd on biharmoniline võrrand (6.18) rahuldatud vaid juhul kui

$$e_4 = -(2c_4 + a_4) \quad (6.25)$$

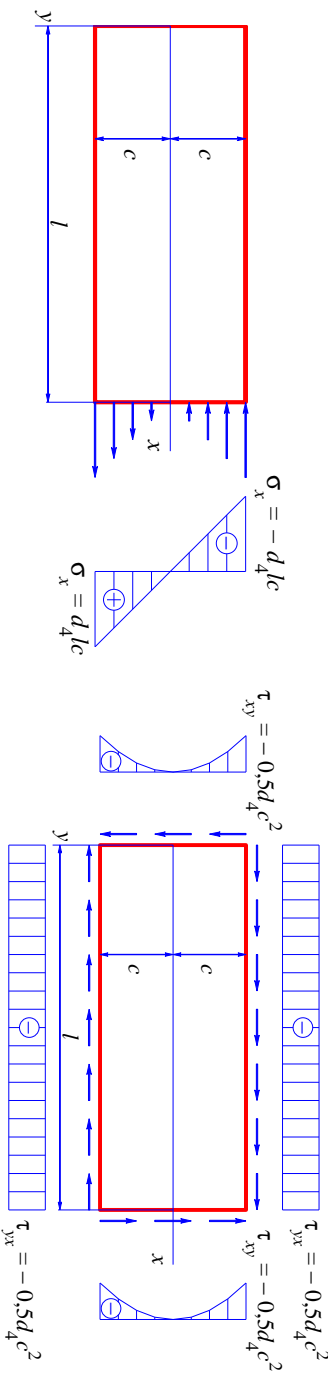
ning pingekomponendid (6.15) saavad kuju

$$\begin{cases} \sigma_x = c_4 x^2 + d_4 x y - (2c_4 + a_4)y^2; \\ \sigma_y = a_4 x^2 + b_4 x y + c_4 y^2; \\ \tau_{xy} = -\frac{b_4}{2} x^2 - 2c_4 x y - \frac{d_4}{2} y^2. \end{cases} \quad (6.26)$$

Kuna koefitsentide  $a_4, \dots, d_4$  valik on vaba, siis on (6.26) abil võimalik kirjeldada mitmesuguseid rajatingimus.

Näiteks kui vaid  $d_4$  on nullist erinev polünoomi koefitsent, siis

$$\sigma_x = d_4 xy; \quad \sigma_y = 0; \quad \tau_{xy} = -\frac{d_4}{2} y^2. \quad (6.27)$$



Joonis 6.4: Neljandat jäärku polünoomile vastavad rajatingimused juhul kui  $d_4 > 0$  ja  $a_4 = b_4 = c_4 = 0$ .

Juhule  $d_4 > 0$  vastavad rajatingimused

$$\begin{cases} \tau_{yx} = -\frac{d_4}{2} c^2, & \text{kui } y = \pm c; \\ \tau_{xy} = -\frac{d_4}{2} y^2, & \text{kui } x = 0; \\ \tau_{xy} = -\frac{d_4}{2} y^2, & \text{kui } x = l; \end{cases} \quad (6.28)$$

on kujutatud joonisel 6.4.

### 6.5. Biharsoonilise võrrandi lahendamine polünoomides

Kui vaid  $c_4 > 0$  oleks nullist erinev polünoomi koefitsent, siis saaksime avaldistest

(6.26)

$$\sigma_x = c_4 x^2 - 2c_4 y^2; \quad \sigma_y = c_4 y^2; \quad \tau_{xy} = -2c_4 xy. \quad (6.29)$$

Jne., jne.

### D) Viendat jäärku polünoom

$$\varphi_5 = \frac{a_5}{5 \cdot 4} x^5 + \frac{b_5}{4 \cdot 3} x^4 y + \frac{c_5}{3 \cdot 2} x^3 y^2 + \frac{d_5}{3 \cdot 2} x^2 y^3 + \frac{e_5}{4 \cdot 3} x y^4 + \frac{f_5}{5 \cdot 4} y^5. \quad (6.30)$$

Nüüd on biharsooniline võrrand (6.18) rahuldatud kui

$$e_5 = -(2c_5 + 3a_5) \text{ ja } f_5 = -\frac{1}{3}(b_5 + 2d_5). \quad (6.31)$$

Pingekomponendid

$$\left\{ \begin{array}{l} \sigma_x = \frac{\partial^2 \varphi_5}{\partial y^2} = \dots \\ \sigma_y = \frac{\partial^2 \varphi_5}{\partial x^2} = \dots \\ \tau_{xy} = -\frac{\partial^2 \varphi_5}{\partial x \partial y} = \dots \end{array} \right. \quad (6.32)$$

Valides vaid  $d_5 > 0$  nullist erinevaks polinoomikoeffitsendiks, saame pingegaotuse

$$\sigma_x = d_5(x^2y - \frac{2}{3}y^3), \quad \sigma_y = \frac{1}{3}d_5y^3, \quad \tau_{xy} = -d_5xy^2. \quad (6.33)$$

Viimasele vastavad rajatingimused

$$\begin{cases} y = \pm c, \quad \sigma_y = \pm \frac{1}{3}d_5c^3, \quad \tau_{yx} = -d_5xc^2 \\ x = 0, \quad \sigma_x = -\frac{2d_5y^3}{3}, \quad \tau_{xy} = 0, \\ x = l, \quad \sigma_x = d_5(l^2y - \frac{2}{3}y^3), \quad \tau_{xy} = -d_5ly^2. \end{cases} \quad (6.34)$$

Kuna biharmoniline võrrand (6.18) on lineaarne diferentsiaalvõrrand, siis on tema lahendiks ka suvaline lahendite superpositsioon. Seega, läites eespool leitud elementaarlahendeid, saame leida meid huvitava probleemi lahendi.

### *6.5. Biharmonilise võrrandi lahendamine polünoomides*

6 - 22

#### Tala pinnal mõjuvate pingete (pindjõudu) peavektori ja peamomendi leidmine

- Vaatleme tala, mille pikkus on  $l$ , kõrgus  $2c$  ja laius 1.
- Eeldame, et tala kontuuril mõjuvad normaal- ja nihkepinged on positiivsed.
- Valime taandumistsentriks koordinaatide alguse.

Peavektori projektsioonid koordinaattelgedel  $x$  ja  $y$ :

$$\begin{aligned} R_x &= R_x(\sigma_x)|_{x=l} + R_x(\sigma_x)|_{x=0} + R_x(\tau_{yx})|_{y=c} - R_x(\tau_{yx})|_{y=-c} = \\ &= \int_{-c}^c \sigma_x|_{x=l} dy - \int_{-c}^c \sigma_x|_{x=0} dy + \int_0^l \tau_{yx}|_{y=c} dx - \int_0^l \tau_{yx}|_{y=-c} dx; \end{aligned} \quad (6.35)$$

$$\begin{aligned} R_y &= R_y(\sigma_y)|_{y=c} + R_y(\sigma_y)|_{y=-c} + R_y(\tau_{xy})|_{x=0} + R_y(\tau_{xy})|_{x=l} = \\ &= \int_0^l \sigma_y|_{y=c} dx - \int_0^l \sigma_y|_{y=-c} dx - \int_{-c}^c \tau_{xy}|_{x=0} dy + \int_{-c}^c \tau_{xy}|_{x=l} dy. \end{aligned} \quad (6.36)$$

Peamoment koordinaatide alguse suhtes<sup>1</sup>

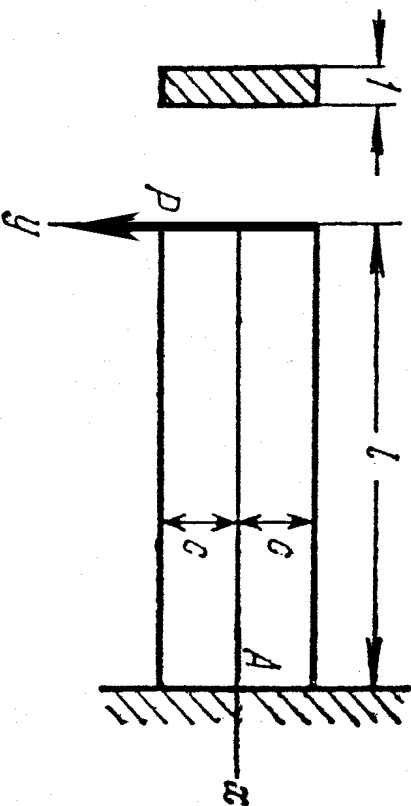
$$\begin{aligned}
 M_O &= M_O(\sigma_x)|_{x=0} + M_O(\sigma_x)|_{x=l} + M_O(\sigma_y)|_{y=c} + M_O(\sigma_y)|_{y=-c} + \\
 &+ M_O(\tau_{yx})|_{y=c} + M_O(\tau_{yx})|_{y=-c} + M_O(\tau_{xy})|_{x=l} = \\
 &= \int_{-c}^c \sigma_x|_{x=0} y \, dy - \int_{-c}^c \sigma_x|_{x=l} y \, dy + \\
 &+ \int_0^l \sigma_y|_{y=c} x \, dx - \int_0^l \sigma_y|_{y=-c} x \, dx - \\
 &- \int_0^l \tau_{yx}|_{y=c} c \, dx - \int_0^l \tau_{yx}|_{y=-c} c \, dx + \int_{-c}^c \tau_{xy}|_{x=l} l \, dy.
 \end{aligned} \tag{6.37}$$

---

<sup>1</sup>Kuna  $y$  telg on suunatud alla, siis on positiivne moment päripäeva.

### 6.6. Konsooli paine

Vaatleme kitsa ristkülikulise ristlõikega konsooli, mille vabas otsas ( $x = 0$ ) on rakendatud jõud  $\mathbf{P}$ , mida võib vaadelda kui otspinal mõjuvate nihkepingete peavektorit (joonis 6.5). Konsooli pealmine ja alumine pind on pingevabad ja ots  $x = l$  jäigalt kinnitatud.



Sellist olukorda saab vaadelda kui superpositsiooni puhtast nihkest (alaajaotus  $6.5 \text{ A}$  valemid (6.21)  $a_2 = c_2 = 0$  ja  $b_2 \neq 0$ ) ja valemitega (6.27) esitatud juhust (alaajaotus  $6.5 \text{ C}$   $a_4 = b_4 = c_4 = e_4 = 0$  ja  $d_4 \neq 0$ ). Saame

$$\sigma_x = d_4 xy, \quad \sigma_y = 0, \quad \tau_{xy} = -b_2 - \frac{d_4}{2} y^2 = \tau_{yx}. \quad (6.38)$$

Rajattingimused

$$\tau_{yx}|_{y=\pm c} \equiv \tau_{xy}|_{y=\pm c} = 0 \quad \Rightarrow \quad d_4 = -\frac{2b_2}{c^2}, \quad (6.39)$$

$$\sum F_{iy} \Big|_{x=0} = P = - \int_{-c}^c \tau_{xy} dy = \int_{-c}^c \left( b_2 - \frac{b_2}{c^2} y^2 \right) dy \quad \Rightarrow \quad b_2 = \frac{3P}{4c}. \quad (6.40)$$

Pannes nüüd konstandid  $b_2$  ja  $d_4$  valemitest (6.39) ja (6.40) pingete avaldisse (6.38) saame

$$\sigma_x = -\frac{3P}{2c^3} xy, \quad \sigma_y = 0, \quad \tau_{xy} = -\frac{3P}{4c} \left( 1 - \frac{y^2}{c^2} \right). \quad (6.41)$$

Arvestades, et inertsimoment  $I \equiv I_z = 2c^3/3$ , siis

✓

### 6.6. Konsooli paine

$$\sigma_x = -\frac{P}{I} xy, \quad \sigma_y = 0, \quad \tau_{xy} = -\frac{P}{2I} (c^2 - y^2). \quad (6.42)$$

Lahend on täpne Saint-Venanti printsibi mõttes, st.,  $6.5 \text{ C}$  puhul on tala otsas nihkepinged paraboolse jaotusega.

Leiame nüüd siirdekomponendid  $u$  ja  $v$ . Lähtume Hooke'i seadusest koos Cauchy seostega, mille põhjal

$$\begin{cases} \varepsilon_x = \frac{\partial u}{\partial x} = \frac{\sigma_x}{E} = -\frac{P}{EI} xy, \\ \varepsilon_y = \frac{\partial v}{\partial y} = -\nu \frac{\sigma_x}{E} = \frac{\nu P}{EI} xy, \\ \gamma_{xy} = \frac{\partial u}{\partial y} + \frac{\partial v}{\partial x} = \frac{\tau_{xy}}{G} = -\frac{P}{2GI} (c^2 - y^2). \end{cases} \quad (6.43)$$

Integreerime (6.43)<sub>1</sub> koordinaadi  $x$  järgi ja (6.43)<sub>2</sub> koordinaadi  $y$  järgi:

$$u = -\frac{P}{2EI} x^2 y + f(y), \quad v = \frac{\nu P}{2EI} xy^2 + f_1(x), \quad (6.44)$$

kus funktsioonid  $f(y)$  ja  $f_1(x)$  on integreerimiskonstantide analoogid.

•

Pannes (6.44) valemisse (6.43)<sub>3</sub> saame

$$-\frac{P}{2EI}x^2 + \frac{df(y)}{dy} + \frac{\nu P}{2EI}y^2 + \frac{df_1(x)}{dx} = -\frac{P}{2GI}(c^2 - y^2). \quad (6.45)$$

Viimane on esitatav kujul

$$F(x) + G(y) = K, \quad (6.46)$$

kus

$$F(x) = \frac{df_1(x)}{dx} - \frac{P}{2EI}x^2, \quad G(y) = \frac{df(y)}{dy} + \left( \frac{\nu P}{2EI} - \frac{P}{2GI} \right) y^2, \quad K = -\frac{P}{2GI}c^2. \quad (6.47)$$

Kuna  $F(x) + G(y) = K = const.$ , siis peavad ka  $F(x)$  ja  $G(y)$  olema konstantsed. Tähistades  $F(x) = d$  ja  $G(y) = e$  saame valemitest (6.46) tingimuse

$$d + e = -\frac{P}{2GI}c^2 \quad (6.48)$$

ja diferentsiaalvõrrandid

$$\frac{df(y)}{dy} = \left( \frac{P}{2GI} - \frac{\nu P}{2EI} \right) y^2 + e, \quad \frac{df_1(x)}{dx} = \frac{P}{2EI}x^2 + d. \quad (6.49)$$

### 6.6. Konsooli paine

Viimaste integreerimisel saame

$$f(y) = \left( \frac{P}{6GI} - \frac{\nu P}{6EI} \right) y^3 + ey + g, \quad f_1(x) = \frac{P}{6EI}x^3 + dx + h. \quad (6.50)$$

Seega saavad siirete avaldised (6.44) kuju

$$u = -\frac{P}{2EI}x^2y + \left( \frac{P}{6GI} - \frac{\nu P}{6EI} \right) y^3 + ey + g, \quad v = \frac{\nu P}{2EI}xy^2 + \frac{P}{6EI}x^3 + dx + h. \quad (6.51)$$

Konstandid  $d, e, g$  ja  $h$  määratatakse tingimusest (6.48) ja kolmest rajatingimustest siiretele.

Olgu punkt  $A$  tala ristlõike  $x = l$  kese. Jäига kinnituse tõttu peab see punkt olema fikseeritud — tema siirded on nullid ja ristlõige  $x = l$  ei saa pöörduda ümber punkti  $A$ . Seega kui  $x = l$  ja  $y = 0$ , siis  $u = v = 0$  ning

$$g = 0 \quad \text{ja} \quad h = -\frac{Pl^3}{6EI} - dl. \quad (6.52)$$

Võttes valemis  $(6.51)_2$   $y = 0$ , saame konsooli kõverdunud telje võrrandi (enne deformatsiooni on teljeks  $x$ -telg, st. sirge  $y = 0$ ):

$$v|_{y=0} = \frac{P}{6EI}x^3 - \frac{Pl^3}{6EI} - d(l-x). \quad (6.53)$$

Konstanti  $d$  määramiseks kasutame kolmandat rajatingimust, mis ei luba vaadel-daval ristlõikel pöorelda ümber punkti A. Seda tingimust võib ette anda mitmel viisil. Vaatleme kahte:

a) tala telje element on punktis A fikseeritud, st.,

$$\frac{\partial v}{\partial x} \Big|_{\substack{x=l \\ y=0}} = 0; \quad (6.54)$$

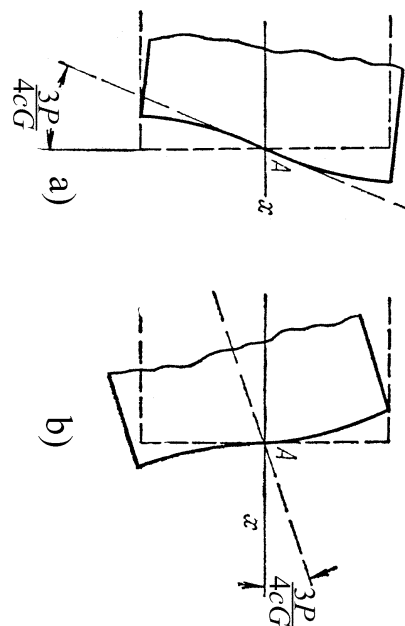
b) tala ristlõike vertikaalne element on punktis A fikseeritud, st.,

$$\frac{\partial u}{\partial y} \Big|_{\substack{x=l \\ y=0}} = 0. \quad (6.55)$$

Juhul a) saame avaldiste  $(6.54)$ ,  $(6.53)$  ja  $(6.48)$  põhjal

$$d = -\frac{Pl^2}{2EI} \text{ ja } e = \frac{Pl^2}{2EI} - \frac{Pc^2}{2GI}. \quad (6.56)$$

### 6.6. Konsooli paine



6 - 30

Joonis 6.6: Rajatingimused otsas  $x = l$ .

Seega saavad sirkdekomponeetide avaldisted  $(6.51)$  ja kõverdunud telje võrrand

$(6.53)$  kuju

$$(6.57) \quad \begin{cases} u = -\frac{P}{2EI}x^2y - \frac{\nu P}{6EI}y^3 + \frac{P}{6GI}y^3 + \left(\frac{Pl^2}{2EI} - \frac{Pc^2}{2GI}\right)y, \\ v = \frac{\nu P}{2EI}xy^2 + \frac{P}{6EI}x^3 - \frac{Pl^2}{2EI}x + \frac{Pl^3}{3EI}, \\ v|_{y=0} = \frac{P}{6EI}x^3 - \frac{Pl^2}{2EI}x + \frac{Pl^3}{3EI}. \end{cases}$$

Võrrand  $(6.57)_3$  annab konsooli vaba otsa  $x = 0$  läbipaindeks  $Pl^3/3EI$ , mis ühtib tugevusõpetusest tuntud tulmustega.

Juhul b) saame konstantidele vääritud

$$e = \frac{Pl^2}{2EI} \quad \text{ja} \quad d = -\frac{Pl^2}{2EI} - \frac{Pc^2}{2GI} \quad (6.58)$$

ning siirdekomponentide ja tala kõverdunud telje jaoks avaldised

$$\begin{cases} u = -\frac{P}{2EI}x^2y - \frac{\nu P}{6EI}y^3 + \frac{P}{6GI}y^3 + \frac{Pl^2}{2EI}y, \\ v = \frac{\nu P}{2EI}xy^2 + \frac{P}{6EI}x^3 - \left( \frac{Pl^2}{2EI} + \frac{Pc^2l}{2GI} \right)x + \frac{Pc^2l}{2GI} + \frac{Pl^3}{3EI}, \\ v|_{y=0} = \frac{P}{6EI}x^3 - \frac{Pl^2}{2EI}x + \frac{Pl^3}{3EI} + \frac{Pc^2}{2GI}(l-x). \end{cases} \quad (6.59)$$

Seega saame võrrandi (6.59)<sub>3</sub> kasutamise puhul tala teljele

$$\frac{Pc^2}{2GI}(l-x) = \frac{3P}{4Gc}(l-x) \quad (6.60)$$

võrra suuremad läbipained kui võrrandi (6.57)<sub>3</sub> puhul. Põhjus on selles, et rajatingimused (6.54) keelavad tala telje pöörded kuid lubavad otspinna pöördeid punktis A (vt. joonis 6.6 a). Rajatingimused (6.55) keelavad aga tala otspinna

### *6.6. Konsooli paine*

pöörded kuid lubavad telje pöördeid (vt. joonis 6.6 b). Mõlemal juhul toimuvald pöörded ühe ja sama nurga  $\alpha$  võrra kuigi pöörduvad erinevad elemendid:

✓

$$\alpha \sim \tan \alpha = -\frac{Pc^2}{2GI} = \begin{cases} -\frac{3P}{4cG} & \text{kui } b = 1, \\ -\frac{3P}{4cbG} & \text{kui } b \neq 1. \end{cases} \quad (6.61)$$

Tegelikult jäab aga kogu otspind  $x = l$  paigale ja õiget tulemust ei anna ei juht a) ega b) ning kinnituskoha läheduses ei vasta ka pingajaotus valemitega (6.42) antule. Avaldise (6.42) puhul tuleb rakendada Saint-Venant'i printsipi, st., et (6.42) annaks töepärasema tulemuse, peame olema otsast  $x = l$  piisavalt kaugel. Seega pikade konsoolide puhul on tulemus „täpsem”, st. vastab enam tegelikkusele, kui lühikesele puhul.

## Näited

Joonistada:

1. tala kõverdunud telg (elastne joon) ja

2. ristlõigete  $x = 0; 0,5l; l$  deformeerunud kuju

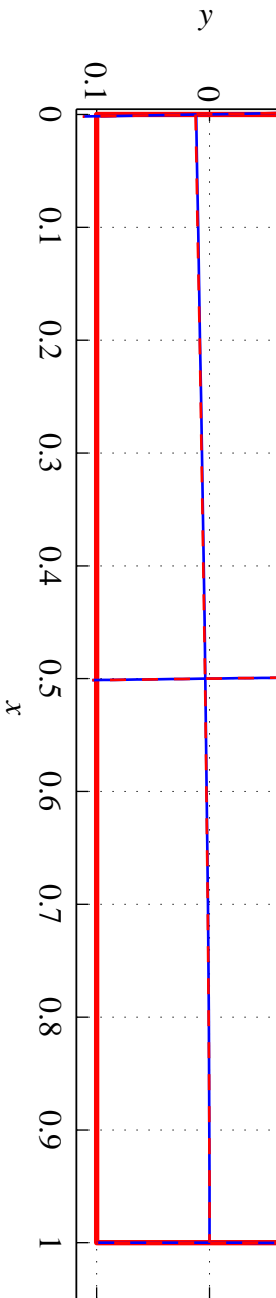
erinevate  $c$ ,  $l$  ja  $P$  väärustuste jaoks mõlema ülalvaadeldud ääretingimuse korral. Tala materjal on teras, mille elastsuskonstant  $E = 210$  GPa ja  $\nu = 0,3$  ning tala laius  $b = 0,1$  m.

Järgnevatel joonistel tähistavad  $\alpha_{telg}$  ja  $\alpha_{ots}$  vastavalt kõverdunud telje ja otspinna numbriliselt leitud tõusunurka kraadides punktis A. Nurk  $\alpha_{teor}$ , mis on leitud avaldisest  $\tan \alpha_{teor} = 3P/(4cbG)$ , vastab rajatingimuste a) korral kõverdunud otspinna tõusule ja rajatingimustele b) korral kõverdunud telje tõusule punktis A (võrdle joon. 6.6).

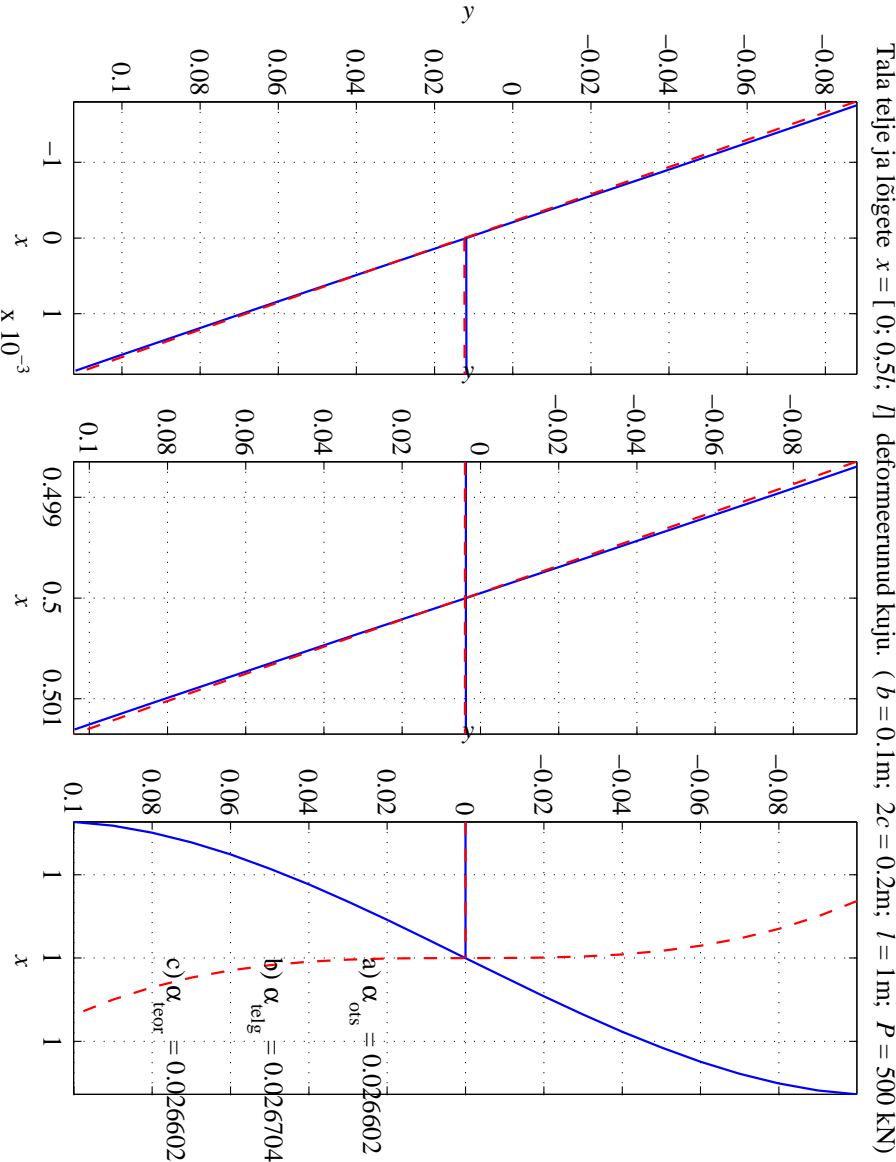
### 6.6. Konsooli paine

6 - 34

Tala telje ja lõigete  $x = [0; 0,5l; l]$  deformeerunud kuju. ( $b = 0,1\text{m}$ ;  $2c = 0,2\text{m}$ ;  $l = 1\text{m}$ ;  $P = 500\text{ kN}$ )



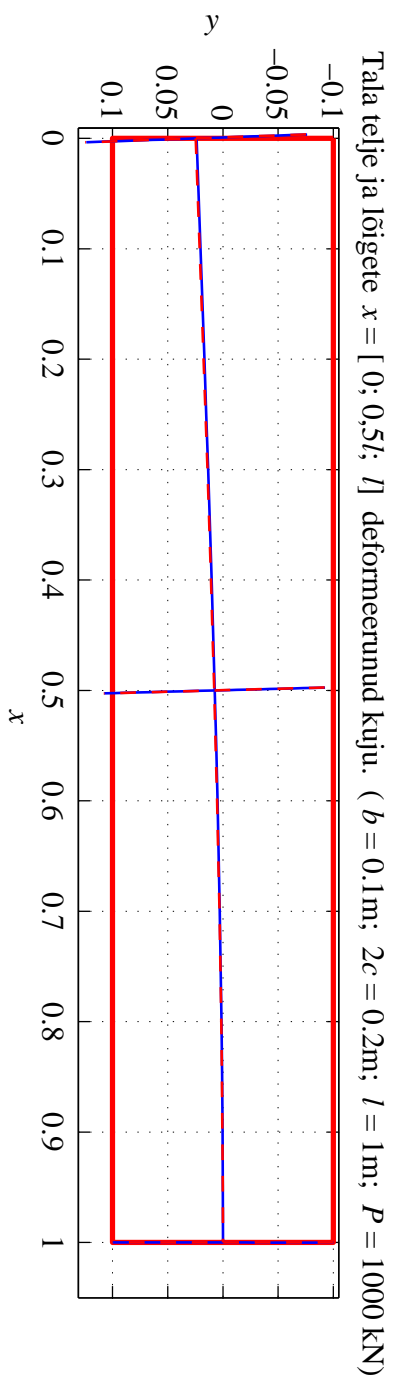
Joonis 6.7: Rajatingimused a) — sinine pidev joon; rajatingimused b) — punane kriipsjoon.



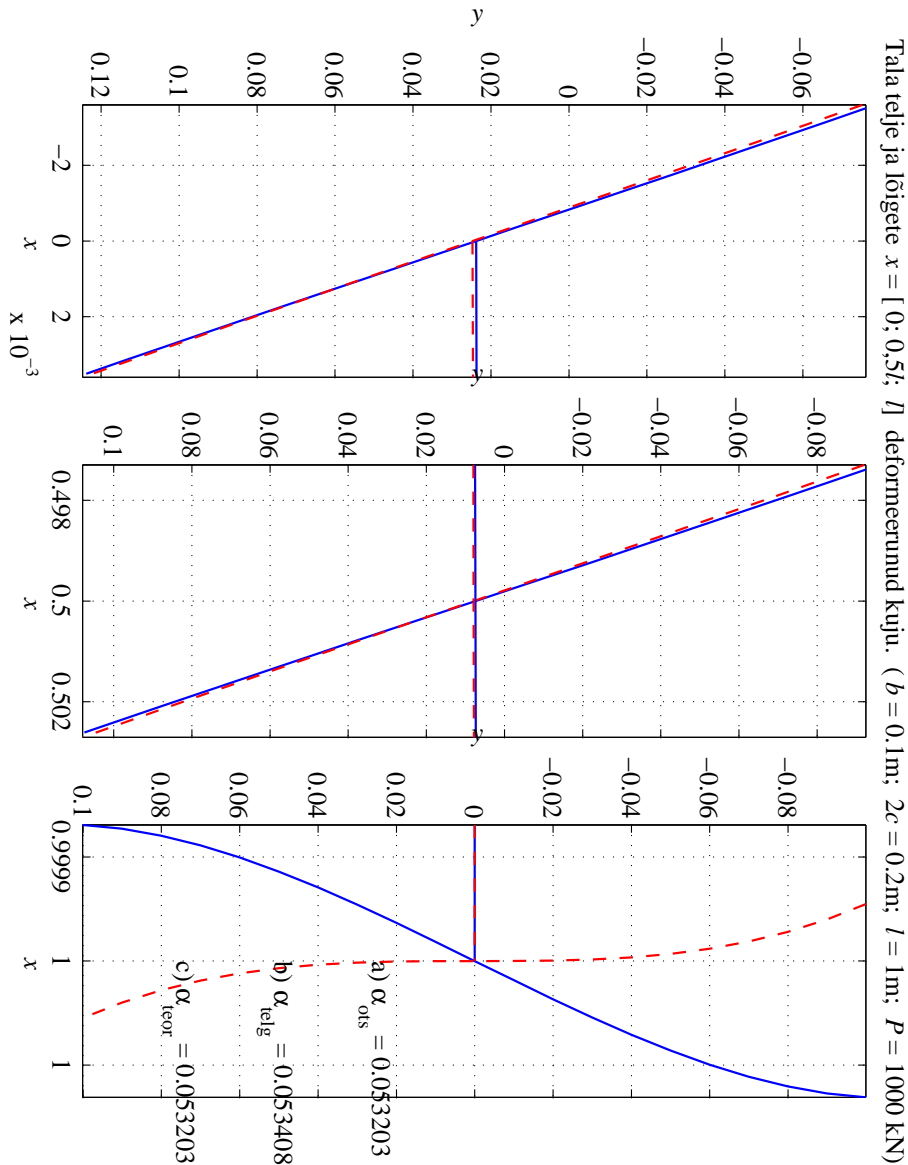
Joonis 6.8: Rajatingimused a) — sinine pidev joon; rajatingimused b) — punane kriipsjoon.

### 6.6. Konsooli paine

6 - 36



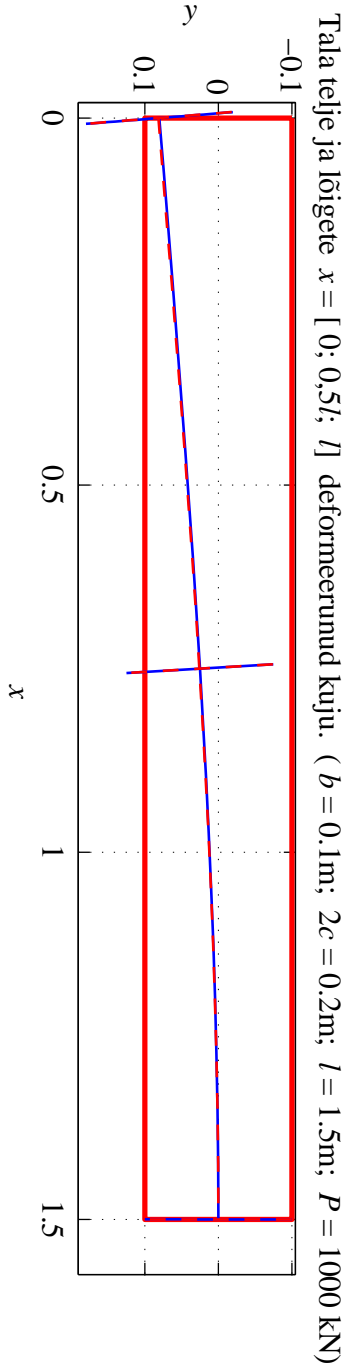
Joonis 6.9: Rajatingimused a) — sinine pidev joon; rajatingimused b) — punane kriipsjoon.



Joonis 6.10: Rajatingimused a) — sinine pidev joon; rajatingimused b) — punane kriipsjoon.

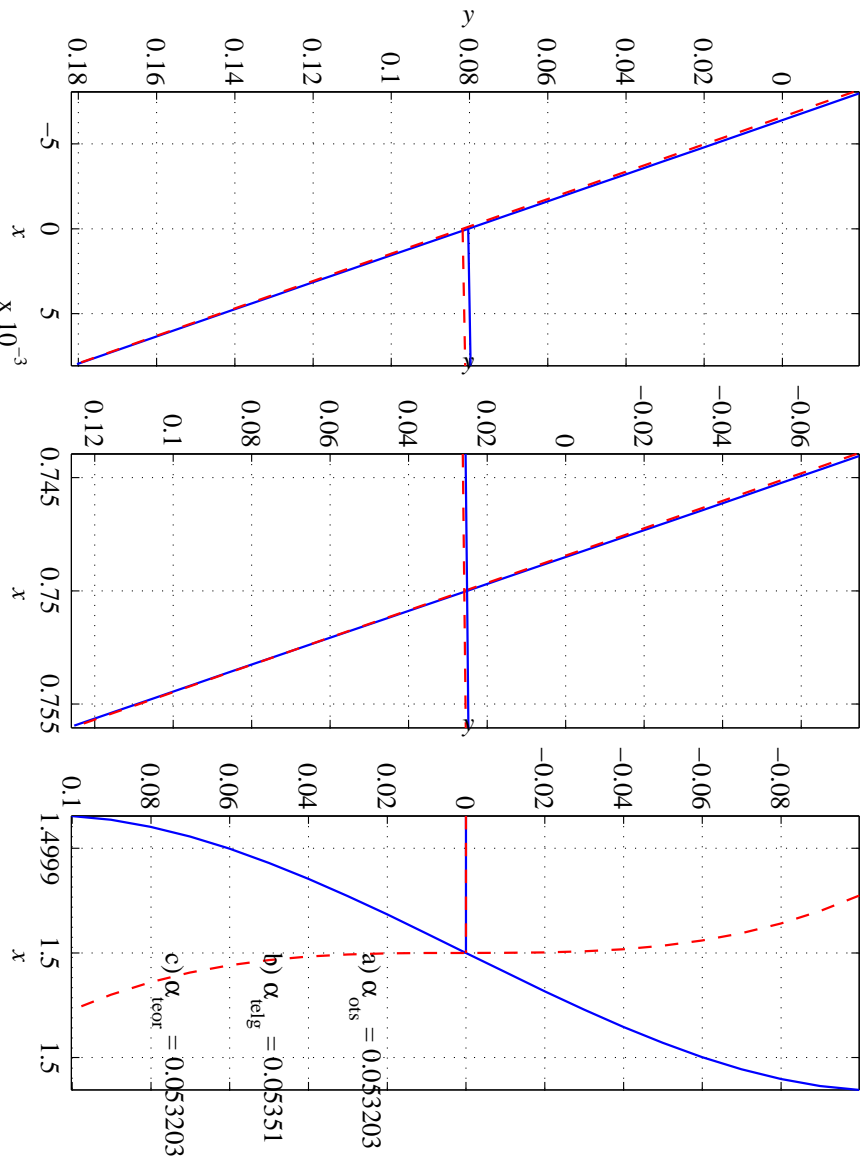
### 6.6. Konsooli paine

6 - 38



Joonis 6.11: Rajatingimused a) — sinine pidev joon; rajatingimused b) — punane kriipsjoon.

Tala telje ja lõigete  $x = [0; 0,5l; l]$  deformeerunud kuju. ( $b = 0.1\text{m}$ ;  $2c = 0.2\text{m}$ ;  $l = 1.5\text{m}$ ;  $P = 1000 \text{ kN}$ )

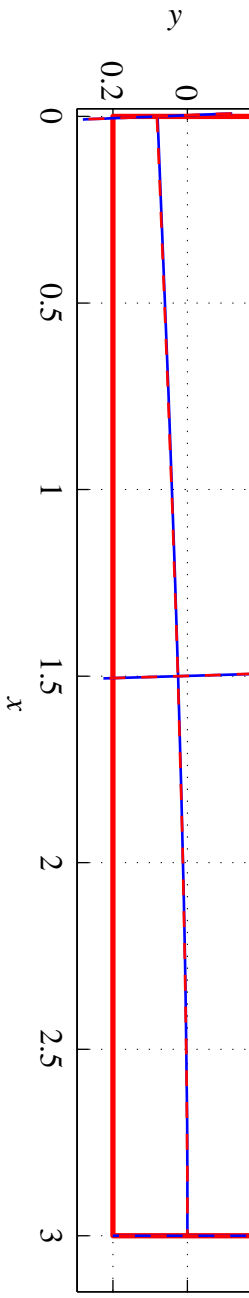


Joonis 6.12: Rajatingimused a) — sinine pidev joon; rajatingimused b) — punane kriipsjoon.

### 6.6. Konsooli paine

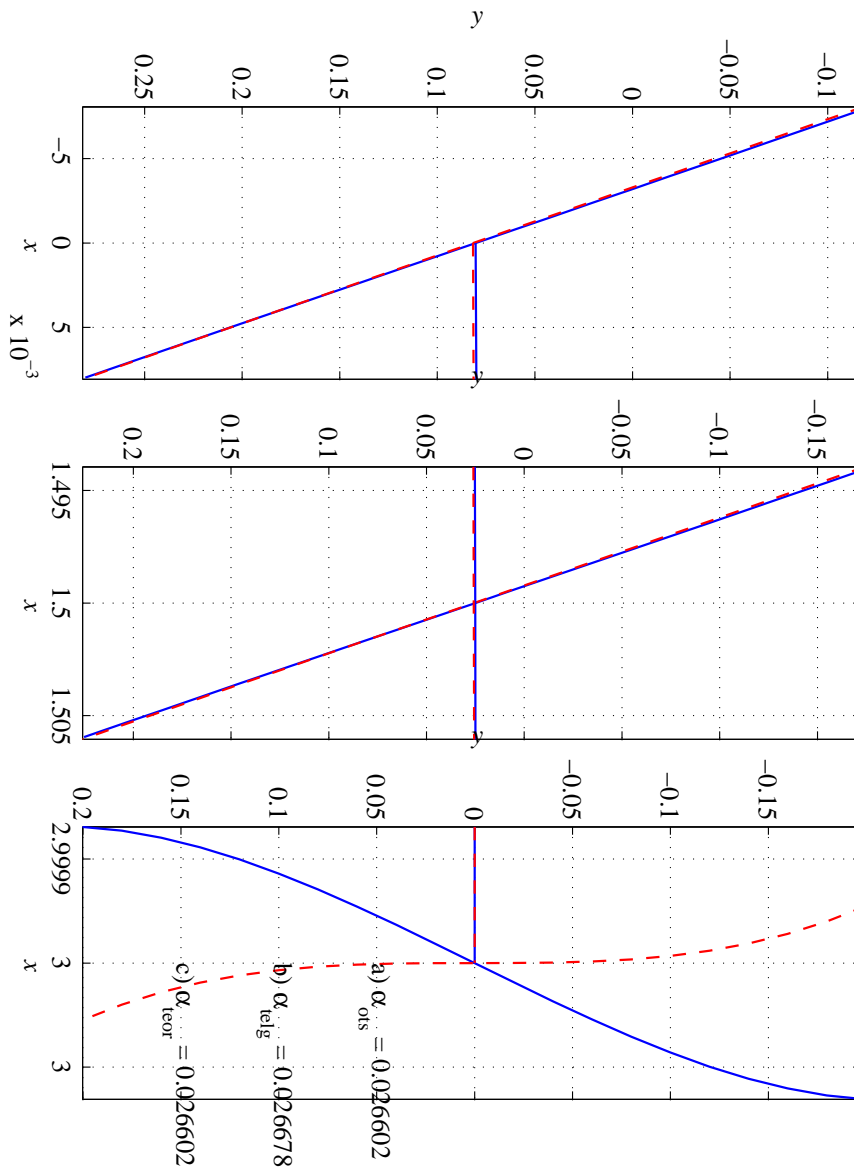
6 - 40

Tala telje ja lõigete  $x = [0; 0,5l; l]$  deformeerunud kuju. ( $b = 0.1\text{m}$ ;  $2c = 0.4\text{m}$ ;  $l = 3\text{m}$ ;  $P = 1000 \text{ kN}$ )



Joonis 6.13: Rajatingimused a) — sinine pidev joon; rajatingimused b) — punane kriipsjoon.

Tala telje ja lõigete  $x = [0; 0.5l; l]$  deformeerunud kuju. ( $b = 0.1\text{m}$ ;  $2c = 0.4\text{m}$ ;  $l = 3\text{m}$ ;  $P = 1000 \text{ kN}$ )

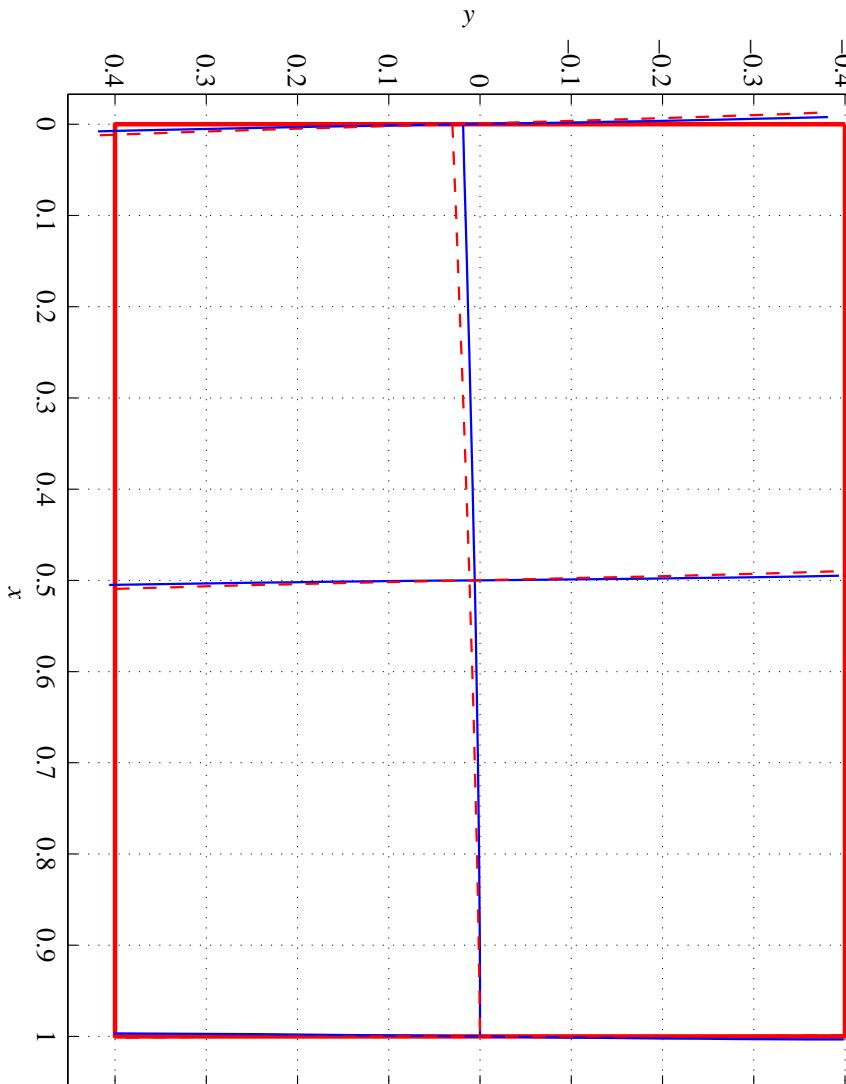


Joonis 6.14: Rajatingimused a) — sinine pidev joon; rajatingimused b) — punane kriipsjoon.

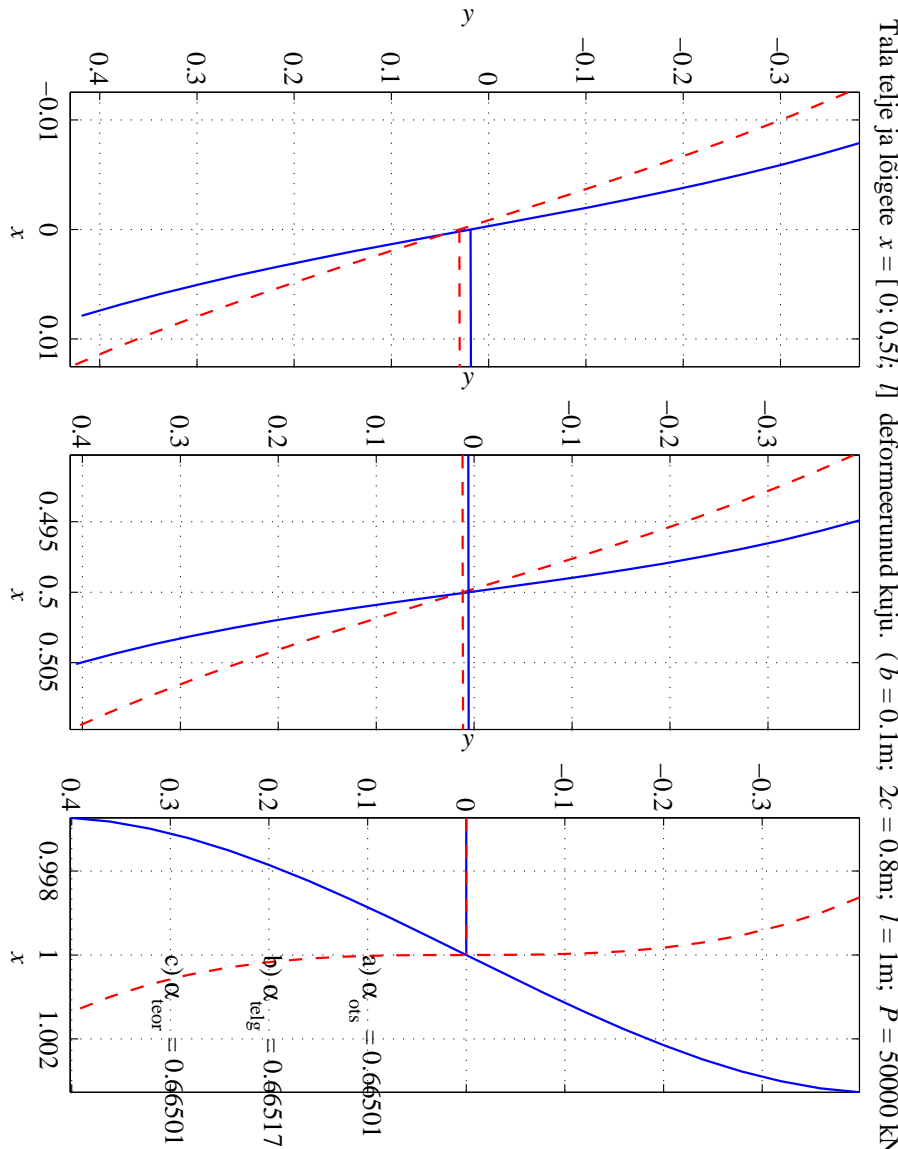
### 6.6. Konsooli paine

6 - 42

Tala telje ja lõigete  $x = [0; 0.5l; l]$  deformeerunud kuju. ( $b = 0.1\text{m}$ ;  $2c = 0.8\text{m}$ ;  $l = 1\text{m}$ ;  $P = 50000 \text{ kN}$ )



Joonis 6.15: Rajatingimused a) — sinine pidev joon; rajatingimused b) — punane kriipsjoon.

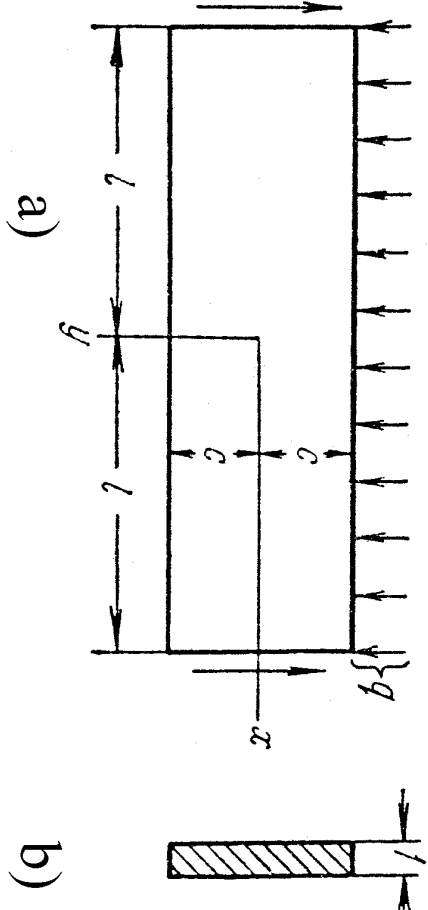


Joonis 6.16: Rajatingimused a) — sinine pidev joon; rajatingimused b) — punane kriipsjoon.

### 6.7 Ühtlaselt koormatud tala paine

6 - 44

#### 6.7. Ühtlaselt koormatud tala paine



Joonis 6.17: Ühtlaselt koormatud kitsa ristkülikulise ristlõikega tala.

Vaatleme kitsa ristkülikulise ristlõikega tala (joonis 6.17), tala pikkus on  $2l$ , kõrgus  $2c$  ja paksus  $1$ . Tala on ostses vabalt toetatud ja talle mõjub ühtlaselt jaotatud koormus intensiivsusega  $q$ .

Rajatingimused: a) külgpindadel  $y = \pm c$

$$\tau_{xy}|_{y=\pm c} = 0, \quad \sigma_y|_{y=+c} = 0, \quad \sigma_y|_{y=-c} = -q; \quad (6.62)$$

b) otspindadel  $x = \pm l$

$$\left\{ \begin{array}{l} \int_{-c}^c \tau_{xy}|_{x=\pm l} dy = \mp ql, \quad \text{põikjõud tala otstes,} \\ \int_{-c}^c \sigma_x|_{x=\pm l} dy = 0, \quad \text{pikijõud tala otstes,} \\ \int_{-c}^c \sigma_x|_{x=\pm l} y dy = 0, \quad \text{painedemoment tala otstes.} \end{array} \right. \quad (6.63)$$

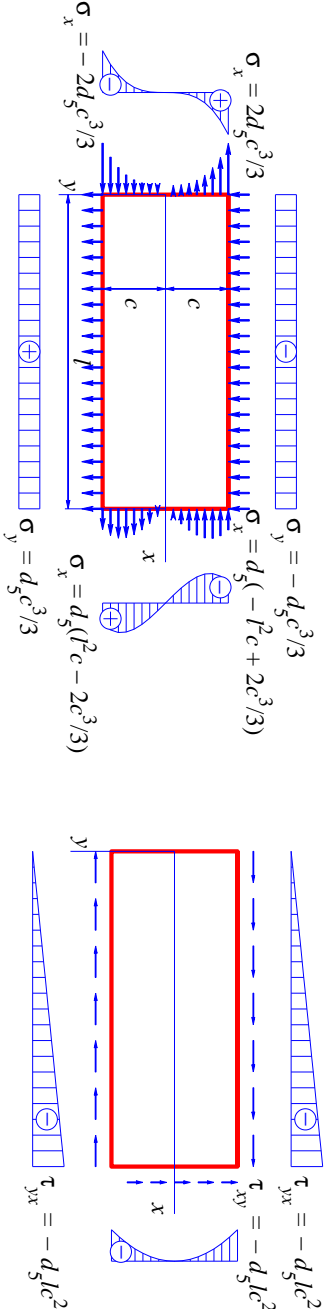
Rajatingimusi (6.62) ja (6.63) saab rahuldada kui combineerida alajaotuses 6.5 leitud lahendeid.

### 6.7. Ühtlaselt koormatud tala paine

Lähtume lahendist (6.33) (lk. 21)

$$\sigma_x = d_5(x^2 y - \frac{2}{3}y^3), \quad \sigma_y = \frac{1}{3}d_5 y^3, \quad \tau_{xy} = -d_5 x y^2,$$

millele vastavad rajatingimused on kujutatud joonisel 6.18. Et vabaneda tõmbe-



6 - 46

Joonis 6.18: Viienda jätku polünoomile vastavad rajatingimused  $d_5 \neq 0$  ja  $a_5 = b_5 = c_5 = e_5 = f_5 = 0$  puul.

pingetest küljel  $y = c$  ja nihkepingetest külgedel  $y = \pm c$  lisame tõmbe  $\sigma_y = a_2$  lahendist (6.21) ja pinged  $\sigma_y = b_3 y$  ning  $\tau_{xy} = -b_3 x$  lahendist (6.23). Kokku saame

$$\left\{ \begin{array}{l} \sigma_x = d_5(x^2 y - \frac{2}{3}y^3), \quad \sigma_y = \frac{1}{3}d_5 y^3 + b_3 y + a_2, \\ \tau_{xy} = -d_5 x y^2 - b_3 x. \end{array} \right. \quad (6.64)$$

Rajatingimustest (6.62) määramine

$$a_2 = -\frac{q}{2}, \quad b_3 = \frac{3}{4} \frac{q}{c}, \quad d_5 = -\frac{3}{4} \frac{q}{c^3}. \quad (6.65)$$

Arvestades, et  $I = I_z = 2c^3/3$  saame valemitest (6.64) ja (6.65)

$$\begin{cases} \sigma_x = -\frac{q}{2I}(x^2y - \frac{2}{3}y^3), & \sigma_y = -\frac{q}{2I}(\frac{1}{3}y^3 - c^2y + \frac{2}{3}c^3), \\ \tau_{xy} = -\frac{q}{2I}(c^2 - y^2)x. \end{cases} \quad (6.66)$$

Leitud pingekomponendid rahuldavad lisaks rajatingimustele (6.62) ka (6.63)<sub>1-2</sub>. Et oleks rahuldatud ka (6.63)<sub>3</sub> lisame puhale paindele vastavad pinged  $\sigma_x = d_3y$  ja  $\sigma_y = \tau_{xy} = 0$  lahendist (6.23). Rajatingimusest (6.63)<sub>3</sub> leidame

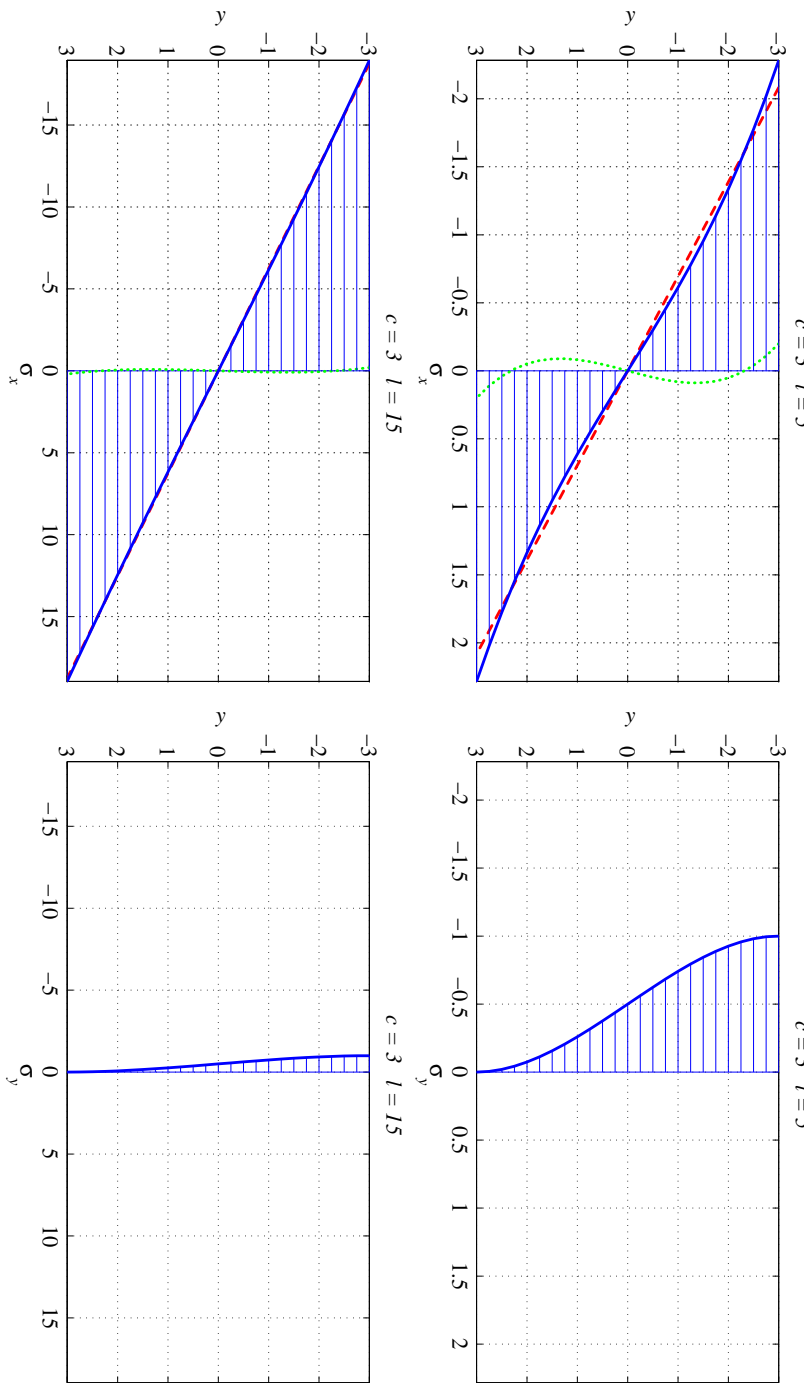
$$d_3 = \frac{3}{4} \frac{q}{c} \left( \frac{b^2}{c^2} - \frac{2}{5} \right). \quad (6.67)$$

### *6.7. Ühtlaselt koormatud tala paine*

Seega avaldub normaalpinge  $\sigma_x$  lõpuks kujul

$$\sigma_x = \underbrace{\frac{q}{2I} (l^2 - x^2) y}_{\text{„põhiliige”}} + \underbrace{\frac{q}{2I} \left( \frac{2}{3}y^3 - \frac{2}{5}c^2y \right)}_{\text{„parandusliige”}}. \quad (6.68)$$

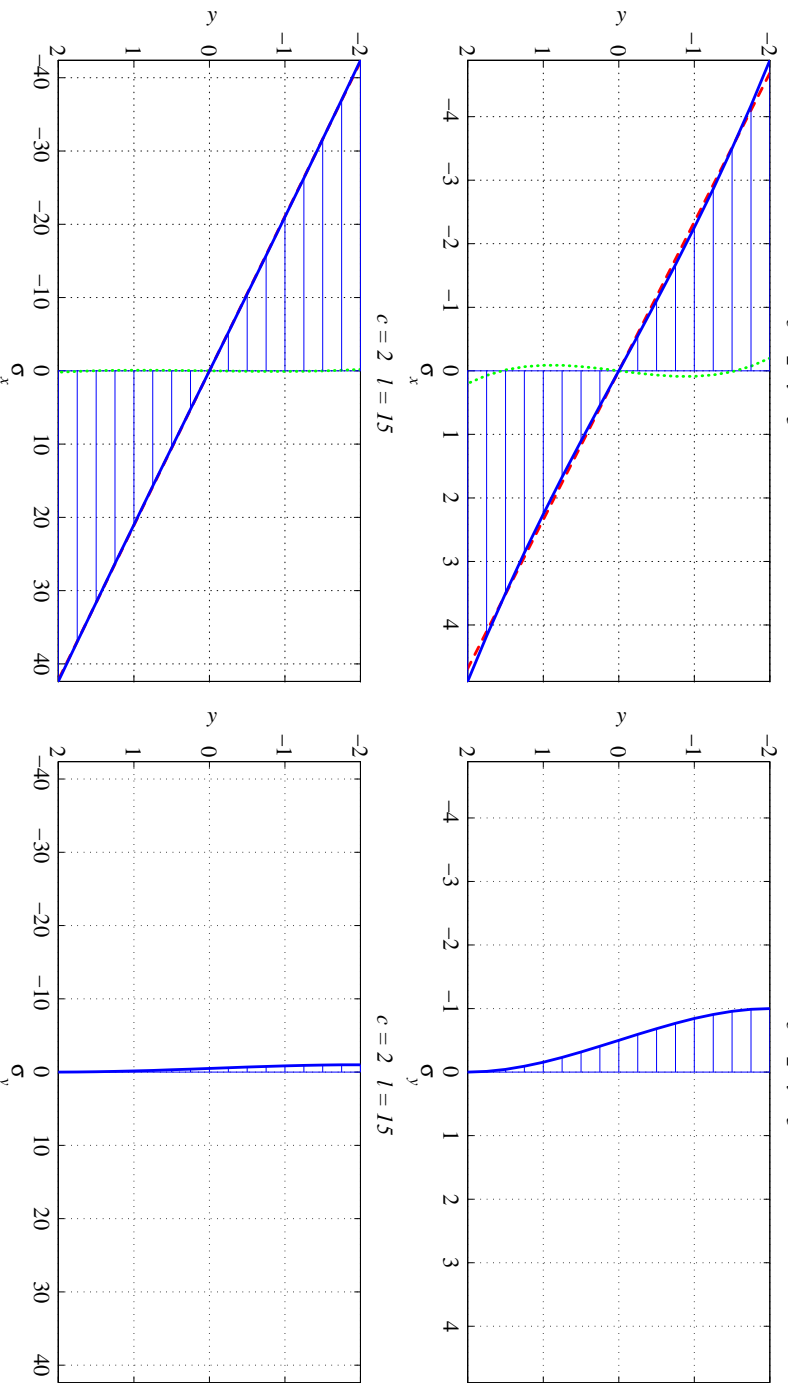
Avaldise (6.68) esimest liiget saab vaadelda kui elementaarsele paindeteooriale vastavat põhiliiget ning teist teist kui parandusliiget, mis on väike vörreldes esimesega „Parandusliige” on põhjustatud sellest, et elementaarteooria puhul eeldatakse, et  $\sigma_y \equiv 0$ , kuid (6.66) põhjal pole see nii. Lisaks on valemite (6.66) ja (6.68) põhjal selge, et  $\sigma_y$  ja  $\sigma_x$  avaldise „parandusliige” ei sõltu koordinaadist  $x$ . Joonistel 6.19 ja 6.20 on esitatud pingete  $\sigma_x$  ja  $\sigma_y$  epüürid võrdluse mõttes samas mõõtkavas. Sinine pidevjoon vastab  $\sigma_x$  puul summaarsesse pingele vastavalt valimile (6.68), punane kriipsjoon esitab nn. põhiliiget ja roheline punktiirjoon parandusliiget. Nendelt joonistelt selgub, et mida suurem on tala pikkuse ja kõrguse suhe  $l/c$ , seda tühisem on paranduslikme mõju ja pinge  $\sigma_y$  maksimaalne väärthus vörreldes  $\sigma_x$  maksimaalse väärusega.



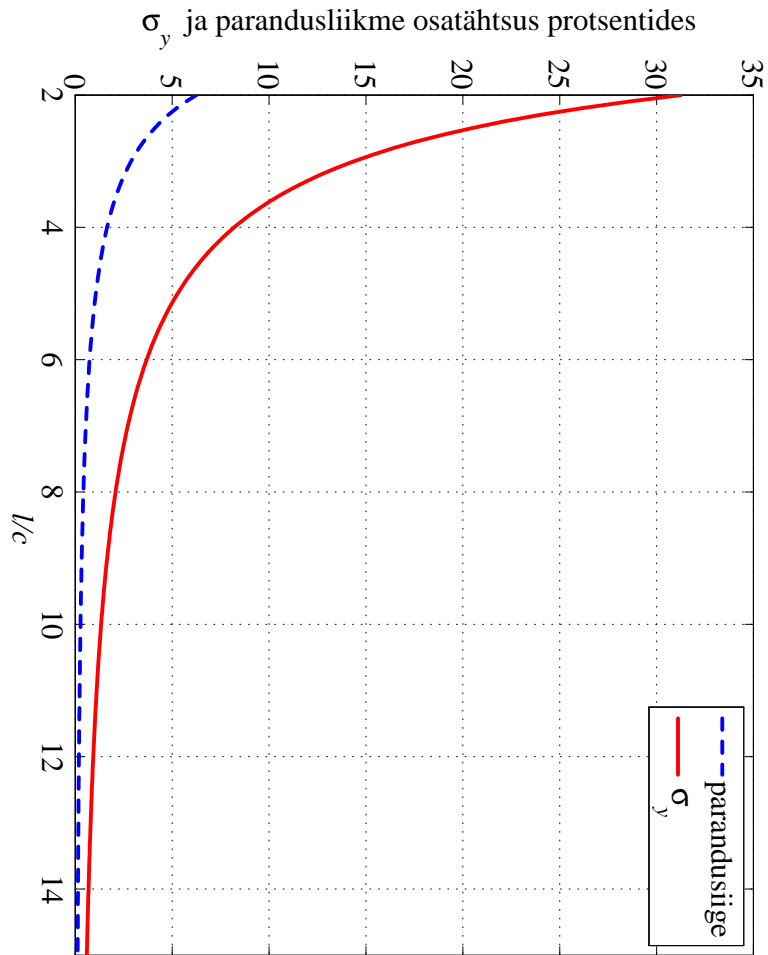
Joonis 6.19: Pinged  $\sigma_x$  ja  $\sigma_y$  ühtlaselt koormatud talas vastavalt valemitele (6.66) ja (6.68). Tala laius on 1 ja kõrgus  $2c = 6$ . Ülemistel joonistel on tala pikkus  $2l = 10$  ja alumistel joonistel  $2l = 30$ . Pinge  $\sigma_x$  on esitatud tala keskel kohal  $x = 0$ . Punane kriipsjoon vastab elementaarteooriast pärit põhilikmele ja rohelise punktiirjoon parandusliikmele.

### 6.7. Ühtlaselt koormatud tala paine

6 - 50



Joonis 6.20: Pinged  $\sigma_x$  ja  $\sigma_y$  ühtlaselt koormatud talas vastavalt valemitele (6.66) ja (6.68). Tala laius on 1 ja kõrgus  $2c = 4$ . Ülemistel joonistel on tala pikkus  $2l = 10$  ja alumistel joonistel  $2l = 30$ . Pinge  $\sigma_x$  on esitatud tala keskel kohal  $x = 0$ . Punane kriipsjoon vastab elementaarteooriast pärit põhilikmele ja rohelise punktiirjoon parandusliikmele.



Joonis 6.21: Pingे  $\sigma_y$  ja parandusliikme osatähtsus protsentides sõltuvana tala pikkuse ja kõrguse suhest.

### *6.7. Ühtlaselt koormatud tala paine*

6 - 52

Valemi (6.68) parandusliikme ja pinge  $\sigma_y$  osatähtsuse hindamiseks on joonisel 6.21 esitatud suhted

$$\frac{\max_y \frac{q}{2I} \left( \frac{2}{3}y^3 - \frac{2}{5}c^2y \right)}{\max_y \sigma_x}. \quad \text{ja} \quad \frac{\max_y \sigma_y}{\max_y \sigma_x}.$$

Selle joonise põhjal on selge, et parandusliikme osatähtsus on alla 5 % juba siis kui suhe  $l/c > 2,5$  ja pingete  $\sigma_y$  ja  $\sigma_x$  maksimaalsete väärustuste suhe on 5 % väiksem kui suhe  $l/c > 5,5$ .

Avaldisega (6.68) esitatud pinged annavad otspindadel nulliga võrdava peavektorija peamomendi. Lahend on täpne vaid juhul kui otspindadel  $x = \pm l$  mõjuks pindjoud

$$t_x = \pm \frac{3}{4} \frac{q}{c^3} \left( \frac{2}{3}y^3 - \frac{2}{5}c^2y \right). \quad (6.69)$$

Saint-Venant'i printsibi põhjal loetakse lahend täpseks punktides, mis on otstest  $x = \pm l$  kaugemal kui tala kõrgus, st.  $2c$ , ka  $t_x = 0$  puuhul.

Tala punktide siirded  $u$  ja  $v$  leitakse analoogiliselt alajaotusele 6.6. Nüüd eeldatakse, et punktis  $x = y = 0$  on horisontaalsed siirded võrdsed nulliga ja vertikaalsed siirded võrdsed läbipaindega  $\delta$ . Kokku saame, et

$$\begin{cases} u = \frac{q}{2EI} \left[ \left( l^2x - \frac{x^3}{3} \right) y + x \left( \frac{2}{3}y^3 - \frac{2}{5}c^2y \right) + \nu x \left( \frac{1}{3}y^3 - c^2y + \frac{2}{3}c^3 \right) \right], \\ v = -\frac{q}{2EI} \left\{ \frac{y^4}{12} - \frac{c^2y^2}{2} + \frac{2}{3}c^3y + \nu \left[ (l^2 - x^2) \frac{y^2}{2} + \frac{y^4}{6} - \frac{1}{5}c^2y^2 \right] \right\} - \\ -\frac{q}{2EI} \left[ \frac{l^2x^2}{2} - \frac{x^4}{12} - \frac{1}{5}c^2x^2 + \left( 1 + \frac{1}{2}\nu \right) c^2x^2 \right] + \delta. \end{cases} \quad (6.70)$$

Kuna  $(6.70)_1$  põhjal horisontaalsed siirded tala keskjoonel

$$u|_{y=0} = \frac{\nu qx}{2E}, \quad (6.71)$$

siis ei osutu keskjoon neutraalseks jooneks. Tala keskjoone punktide vertikaalne siire

$$v|_{y=0} = \delta - \frac{q}{2EI} \left[ \frac{l^2x^2}{2} - \frac{x^4}{12} - \frac{1}{5}c^2x^2 + \left( 1 + \frac{1}{2}\nu \right) c^2x^2 \right]. \quad (6.72)$$

### *6.7. Ühtlaselt koormatud tala paine*

Kuna tala otsad on vabalt toetatud, siis  $v|_{x=\pm l} = 0$  ja

$$\delta = \frac{5}{24} \frac{ql^4}{EI} \left[ 1 + \frac{12}{5} \frac{c^2}{l^2} \left( \frac{4}{5} + \frac{\nu}{2} \right) \right]. \quad (6.73)$$

Avaldises (6.73) nurksulgude ees olev kordaja esitab elementaariteooriale vastavat läbipainet (eeldades, et tala ristlõiked jäävad deformatsioonil tasapinnalisteks).

Teine liige nurksulgudes esitab parandust, st. arvestab põikjõu mõju läbipaindele. Diferentseerides (6.72) kaks korda saame keskjoone kõverust iseloomustava avaldise

$$\frac{\partial^2 v}{\partial x^2} \Big|_{y=0} = \frac{q}{EI} \left[ \frac{l^2 - x^2}{2} + c^2 \left( \frac{4}{5} + \frac{\nu}{2} \right) \right]. \quad (6.74)$$

Ka selles avaldises vastab esimene liige elementaariteooria valemile ning on proporsionaalne paindemomendiga  $q(l^2 - x^2)/2$ .

Kui soovitakse arvesse võtta ka omakaalu, tuleb lisada pinge

$$\sigma_y = \rho g(c - y), \quad (6.75)$$

mis annab tala ülemisel pinnal  $y = -c$  pingeks  $\sigma_y = 2\rho g(c)$  ja alumisel pinnal  $y = c$  vastavalt  $\sigma_y = 0$ .

## Näide

- Tala pikkus  $2l = 10$  m, kõrgus  $2c = 0,8$  m ja laius  $b = 0,1$  m, koormus  $q = 100$  kN/m.

- Materjalid:

Teras:  $\rho = 7800$  kg/m<sup>3</sup>,  $E = 210$  GPa,  $\nu = 0,3$ , omakaal 61,2144 kN.  
Alumiinium:  $\rho = 2600$  kg/m<sup>3</sup>,  $E = 70$  GPa,  $\nu = 0,35$ , omakaal 20,4048 kN.  
Vask:  $\rho = 8900$  kg/m<sup>3</sup>,  $E = 110$  GPa,  $\nu = 0,32$ , omakaal 69,8472 kN.

Joonistada tala kõverdunud keskjoon vastavalt valemile (6.72) ja elementaarteooria valemile<sup>2</sup>

$$v = \frac{q}{EI} \left[ \frac{(x+l)^4}{24} - \frac{l(x+l)^3}{6} + \frac{l^3(x+l)}{3} \right] \quad (6.76)$$

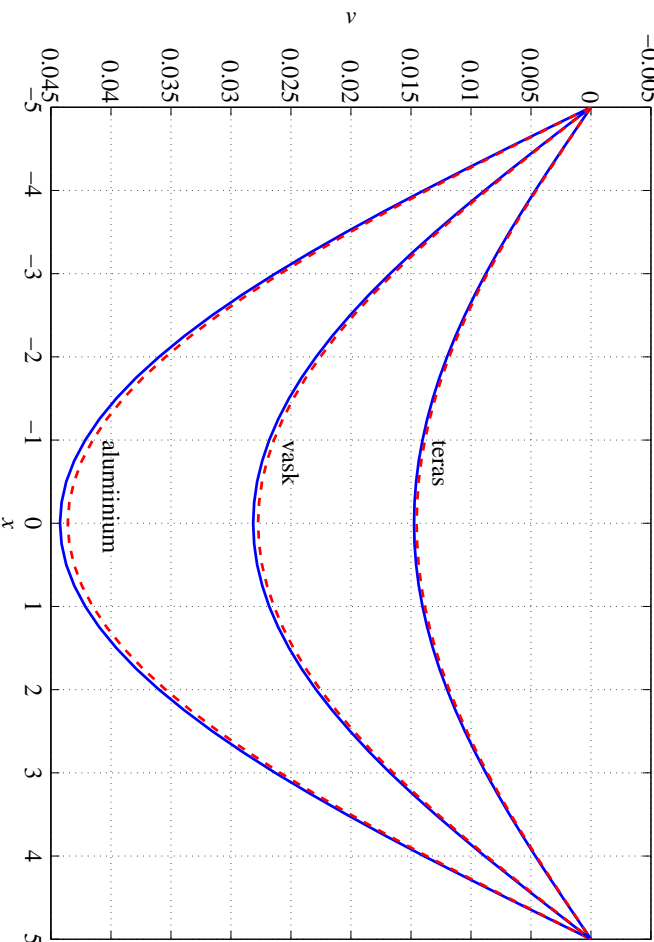
ning himnata valemi (6.73) nn. parandusliikme osatähtsust sõltuvana tala kõrguse ja pikkuse suhest.

---

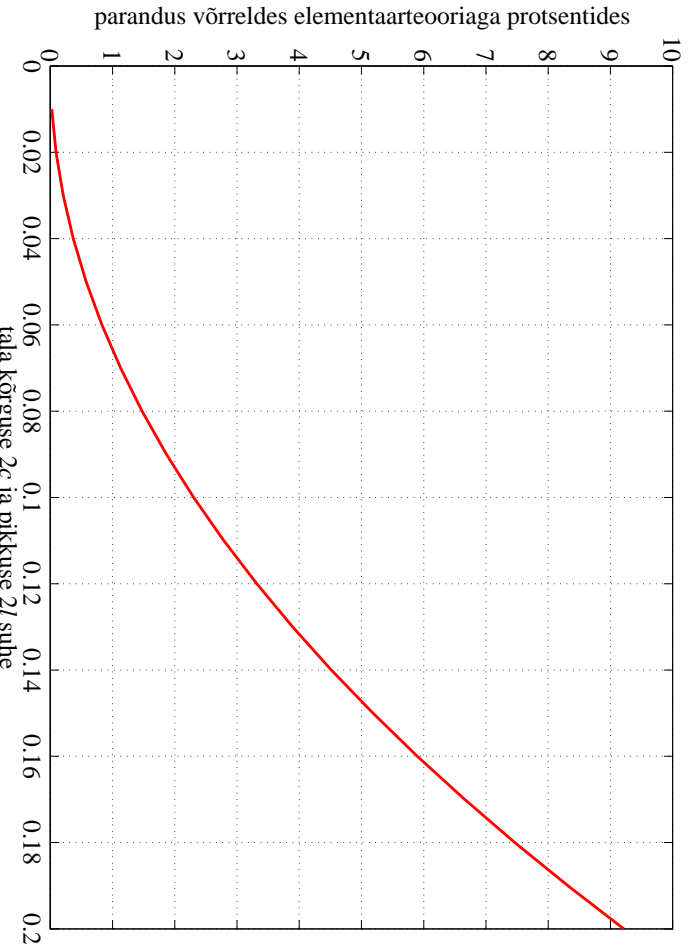
<sup>2</sup>Parnes, Raymond. Solid mechanics in engineering. Wiley, Chichester, 2001.

### 6.7. Ühtlaselt koormatud tala paine

6 - 56



Joonis 6.22: Vabalt toetatud tala telje siirded. Punane kriipsjoon vastab nn. elementaarteooriale ja sinine pidevjoon valemile (6.72).



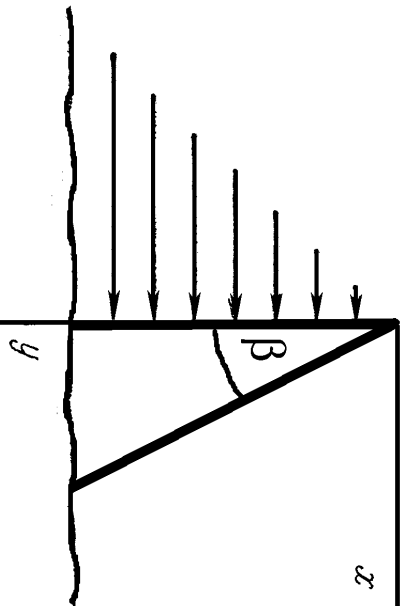
Joonis 6.23: Vabalt toetatud tala paine. Valemi (6.73) parandusliikme osatähtsus protsentides sõltuvana tala kõrguse ja pikkuse suhest (vt. alajaotus 6.7 lk. 54).

### 6.8 Hüdrostaatiliselt koormatud tugiseina arvutus.

6 - 58

### 6.8. Hüdrostaatiliselt koormatud tugiseina arvutus.

Vaatleme kolmukse ristlõikega tugiseina, millele mõjub hüdrostaatiline surve (joon 6.24). Olgu vedeliku tihedus  $\rho$ , tugiseina kaldenurk  $\beta$  ja seina materjali erikaal  $\gamma$ . Seega on seinale mõjuvateks välisjõududeks vedelikust põhjustatud hüdrostaatiline surve  $p = \rho g y$  ja mahujõud  $Y = \gamma$  (seina erikaal). Hulgane seina ja vundamendi vahelised mõjud, st., vaatleme  $0 \leq y < \infty$ .



Joonis 6.24: Hüdrostaatiliselt koormatud kolmukse ristlõikega tugisein.

Sellistel eeldustel on tegu tasapinnalise ülesandega ja rajatingimused

$$\begin{cases} p_{\nu x} = \sigma_x l + \tau_{yx} m, \\ p_{\nu y} = \tau_{xy} l + \sigma_y m. \end{cases}$$

Vertikaalsel küljel  $x = 0$  ja pinnanormaali suunakoosinused  $l = -1$  ning  $m = 0$ . Kuna sellele seinale mõjub hüdrostaatiline surve  $p$ , siis vastavalt rajatingimustele

$$\begin{cases} \rho gy = \sigma_x \cdot (-1) + \tau_{yx} 0, \\ 0 = \tau_{xy} \cdot (-1) + \sigma_y 0, \end{cases} \Rightarrow \begin{cases} \sigma_x = -\rho gy, \\ \tau_{xy} = 0. \end{cases} \quad (6.77)$$

Kaldküljel  $x = y \tan \beta$ ,  $l = \cos \beta$ ,  $m = -\cos(90^\circ - \beta) = -\sin \beta$ . Kuna kaldküljel on koormusest vaba, siis saavad rajatingimused kuju

$$\begin{cases} 0 = \sigma_x \cos \beta + \tau_{yx}(-\sin \beta), \\ 0 = \tau_{xy} \cos \beta + \sigma_y(-\sin \beta), \end{cases} \Rightarrow \begin{cases} \sigma_x = \tau_{yx} \tan \beta, \\ \tau_{xy} = \sigma_y \tan \beta. \end{cases} \quad (6.78)$$

Lahendi leidmisel lähtume kuuppolünoomist (6.22)

$$\varphi_3 = \frac{a_3}{3 \cdot 2} x^3 + \frac{b_3}{2} x^2 y + \frac{c_3}{2} x y^2 + \frac{d_3}{3 \cdot 2} y^3.$$

### **6.8. Hüdrostaatiliselt koormatud tugiseina arvutus**

Vastavalt valemitele (6.15) avalduvad pingekomponendid kujul

$$\sigma_x = c_3 x + d_3 y; \quad \sigma_y = a_3 x + b_3 y; \quad \tau_{yx} = -b_3 x - c_3 y - \gamma x. \quad (6.79)$$

Alternatiivsete valemite (6.16) kaudu aga kujul

$$\sigma_x = c_3 x + d_3 y; \quad \sigma_y = a_3 x + b_3 y - \gamma y; \quad \tau_{yx} = -b_3 x - c_3 y. \quad (6.80)$$

Järgnevalt näeme, et mõlemal juhul saame pärist rajatingimuste (6.77) ja (6.78) rahuldamist sama tulemuse.

Lähtume esiteks valemeist (6.79). Rajatingimused vertikaalküljel (6.77) annavad

$$d_3 = -\rho g \quad \text{ja} \quad c_3 = 0. \quad (6.81)$$

Kaldküljel  $x = y \tan \beta$  ja rajatingimused (6.78) saavad kuju

$$\begin{cases} 2c_3 \tan \beta + b_3 \tan^2 \beta + d_3 + \gamma \tan^2 \beta = 0 \\ a_3 \tan^2 \beta + 2b_3 \tan \beta + c_3 + \gamma \tan \beta = 0 \end{cases} \quad (6.82)$$

Arvestades (6.81) saame viimastest avaldada

$$a_3 = \frac{\gamma}{\tan \beta} - \frac{2\rho g}{\tan^3 \beta}, \quad b_3 = \frac{\rho g}{\tan^2 \beta} - \gamma. \quad (6.83)$$

Sellega ongi neli tundmatut konstanti määratud ning pingete avaldised (6.79) saavad kuju

$$\sigma_x = -\rho gy; \quad \sigma_y = (\gamma - 2A) \frac{x}{\tan \beta} + (A - \gamma)y; \quad \tau_{yx} = -Ax, \quad (6.84)$$

kus konstant

$$A = \frac{\rho g}{\tan^2 \beta}. \quad (6.85)$$

Kui teha sama protseduur läbi alternatiivsete pingeavaldiste (6.80) jaoks, siis saame rajatingimustest (6.77) tulemuseks avaldised (6.81). Rajatingimused kaldoüüljal annavad aga valemeist (6.83) erineva tulemuse konandi  $b_3$  jaoks

$$a_3 = \frac{\gamma}{\tan \beta} - \frac{2\rho g}{\tan^3 \beta}, \quad b_3 = \frac{\rho g}{\tan^2 \beta}. \quad (6.86)$$

Pannes aga avaldistega (6.81) ja (6.86) esitatud konstantide  $a_3, \dots, d_3$  väärused pingete avaldistesse (6.80) saame sama tulemuse, mis eelmiselgi juhul. Seega võime kokkuvõttes öelda, et vaadeldava ülesande korral on pinged tugiseinas leitavad valemite (6.84) abil.

#### *6.8. Hüdrostaatiliselt koormatud tugiseina arvutus.*

6 - 62

Valemi (6.84)<sub>2</sub> põhjal vertikaalküüljal  $\sigma_y = (A - \gamma)y$ . Seega selleks, et välida tõmbepingeid ( $\sigma_y > 0$ ) peab  $A < \gamma$ , kust saame kaldenurga jaoks kriitilise väärtsuse

$$\beta^* = \arctan \sqrt{\frac{\rho g}{\gamma}}. \quad (6.87)$$

Kui  $\beta > \beta^*$ , siis on vertikaalkülg surutud. Võttes vee tiheduseks  $\rho = 1000 \text{ kg/m}^3$  ja seina materjaliks betooni erikaaluga  $\gamma = 2400g \text{ N/m}^3$  saame  $\beta^* = \arctan \sqrt{1000/2400} = 32,8^\circ$ . Erikaalu  $\gamma = 2000g \text{ N/m}^3$  korral saame aga  $\beta^* = 35,2^\circ$ .

Vaatleme nüüd tugiseina lõiget  $y = y_0$ . On selge, et selles lõikes  $0 \leq x \leq y_0 \tan \beta$ . Vastavalt valemeile (6.84) on normaalpinge  $\sigma_x = -\rho gy_0$ , st. konstantne. Teine normaalpinge, st.  $\sigma_y$ , muutub aga väärusest  $\sigma_y|_{x=0} = (A - \gamma)y_0$  väärustseni  $\sigma_y|_{x=x_0} = -Ay_0$ . Nihkepinge  $\tau_{xy}|_{x=0} = 0 \leq \tau_{xy} \leq \tau_{xy}|_{x=x_0} = -Ay_0 \tan \beta$ . Tugevusõpetuse kursuse raames saadud valemid, nn. 0-järku lahend, erineb saadust oluliselt pingete  $\sigma_x$  ja  $\tau_{xy}$  osas, kusjuures  $\sigma_y$  langeb kokku:

$$\sigma_x^0 = 0; \quad \sigma_y = \sigma_y^0 \quad \tau_{xy}^0 = -\frac{3\rho g}{\tan^3 \beta} \left( x \tan \beta - \frac{x^2}{y} \right). \quad (6.88)$$

Nihkepinge avaldise puhul on 0-järku teorias lähtutud samadest eeldustest, mis talade paindel ja saadud paraboolne jaotus.

### Märkused:

- Vaadeldava ülesande lahendusele ei anna polünoomi järgu tööstmine mitte mingeid lisaliikmeid — kõik kõrgemat järku liikmed peavad vaadeldavate rajatingimustele korral olema nullid.
- Käesoleva lahendi puuhul pole arvestatud vundamendi mõju — tugiseina alumi misel osal on lubatud vabalt deformeeruda. Tegelikkuses sõltub aga suuremate  $y$  väärustuste korral vertikaalne deformatsioon vundamendi jäikusest.
- Kui me sooviksime arvestada ka rajatingimusi tugiseina alumisel osal (seina ja vundamendi kinnituskohas), siis muutuks ülesanne tunduvalt keerukaaks ja teda poleks võimalik lahendada polünoomides.
- Võttes kasutusele kuundat järku polünoomid, saab leida lahendi ristkülikulise tugiseina (vertikaalse konsooli) jaoks. Sedá vaadeldakse järgmises alajaotuses.

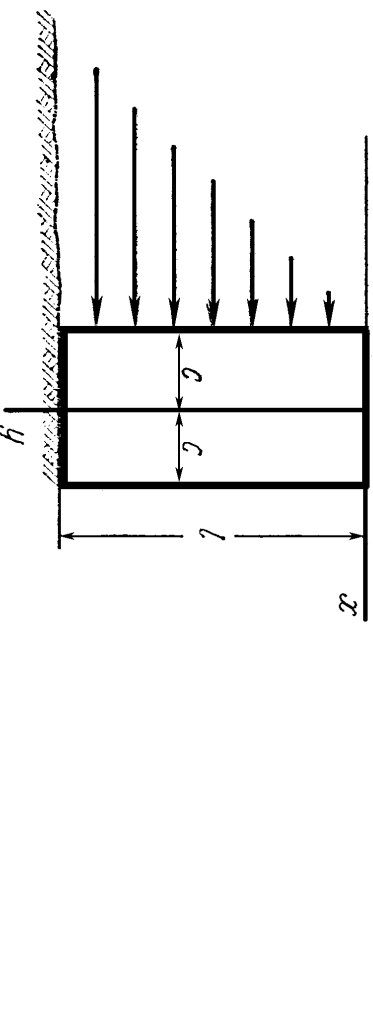
### *6.9. Hüdrostaatiliselt koormatud vertikaalne konsool*

6 - 64

## 6.9 Hüdrostaatiliselt koormatud vertikaalne konsool

Kui üldistada alajaotuses 6.5 esitatud lahendusmetoodikat ja vaadelda 6. jäärku polünoomi, siis saame leida pingjaotuse hüdrostaatiliselt koormatud vertikaalse konsooli jaoks:

$$\begin{cases} \sigma_x = -\frac{\rho gy}{2} + \rho gy \left( \frac{x^3}{4c^3} - \frac{3x}{4c} \right), & \sigma_y = \frac{\rho gy^3 x}{4c^3} + \frac{\rho g}{4c^3} \left( -2yx^3 + \frac{6}{5}c^2 yx \right), \\ \tau_{xy} = \frac{3\rho gy^2}{8c^3} (c^2 - x^2) - \frac{\rho g}{8c^3} (c^4 - x^4) + \frac{\rho g}{4c^3} \frac{3}{5} c^2 (c^2 - x^2). \end{cases} \quad (6.89)$$



Joonis 6.25: Vertikaalsele konsoolile mõjuv hüdrostaatiline surve.

Sin tähistab  $\rho$  vedeliku tihedust ( $\text{kg/m}^3$ ) ja seega on koormuse intensiivsus sügavusel  $y$  võrdne  $\rho gy$ , põikjõud  $\rho gy^2/2$  ja paindemoment  $\rho gy^3/6$ .  $\sigma_y$  ja  $\tau_{xy}$  avaldiste esimesed liikmed vastavad jälgigi elementaarteooriale.

Konsooli vabal otsal  $y = 0$  on leitud lahendi põhjal normaalpinged nullid. Nihkepinged

$$\tau_{xy} = -\frac{\rho g}{8c^3}(c^4 - x^4) + \frac{\rho g}{4c^3}\frac{3}{5}c^2(c^2 - x^2) \quad (6.90)$$

pole nullid, kuid on väikesed üle kogu pinna ning nende peavektor on ligikaudu null. See võimaldab lugeda väliskoormuse kohal  $y = 0$  nulliks.

Kui tahetakse arvesse võtta ka konsooli materjali omakaal, siis tuleb  $\sigma_y$  avaldisse lisada liige  $-\gamma y$ , kus  $\gamma$  on konsooli materjali erikaal.

Vaadeldav lahend päri neeb Timoshenko ja Goodier õpikust<sup>3</sup> ning tegelikult pole ka siin arvesse võetud vundamendi mõju.

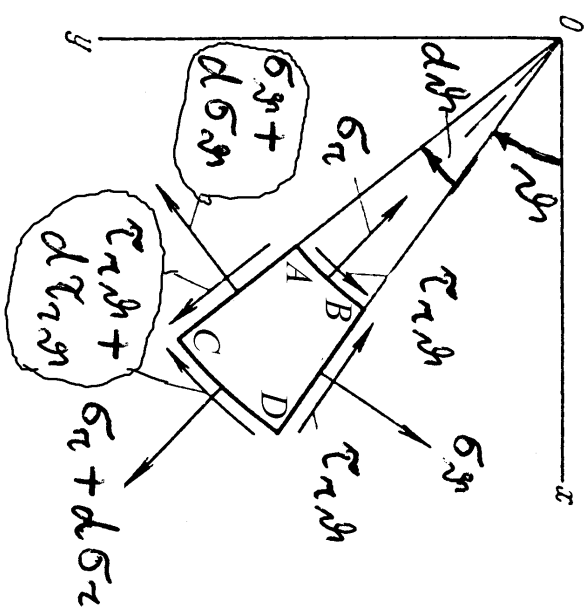
---

<sup>3</sup>S.P. Timoshenko, J.N. Goodier. Theory of Elasticity. McGraw-Hill, 1970. Venekelne tõlge: Teoria uprugosti, Mir, Moskva, 1975.

### 6.10 Tasapinnalised ülesanded polaarkoordinaatides

6 - 66

#### 6.10.1 Tasakaaluvõrandid ja Airy' pingefunktsoon



Joonis 6.26: Väikese elemendi ABCD tasakaal.

DRK-s esitatud tasakaaluvõrandite analoog saadakse kui vaadeldakse elemendi  $ABCD$  tasakaalu ja projekteeritakse tema külgedel mõjuvad summaarsed jõud ja mahujõud  $\vartheta$  ja  $r$  sihile.

Minnes üle piirile  $d\vartheta \rightarrow 0$  ja  $dr \rightarrow 0$  saame

$$\begin{cases} \frac{\partial \sigma_r}{\partial r} + \frac{1}{r} \frac{\partial \tau_{r\vartheta}}{\partial \vartheta} + \frac{\sigma_r - \sigma_\vartheta}{r} + f_r = 0, \\ \frac{1}{r} \frac{\partial \sigma_\vartheta}{\partial \vartheta} + \frac{\partial \tau_{r\vartheta}}{\partial r} + \frac{2\tau_{r\vartheta}}{r} + f_\vartheta = 0. \end{cases} \quad (6.91)$$

Sin tähistavad  $f_r$  ja  $f_\vartheta$  mahujõudude projektsioone radiaal ja tangentsiaal sulnale ( $r$  ja  $\vartheta$  kasvamise suunale).

Ka sin saab mahujõuduude puudumisel sisse tuua Airy' pingefunktsiooni  $\varphi = \varphi(\vartheta, r)$ , nii et

$$\begin{cases} \sigma_r = \frac{1}{r} \frac{\partial \varphi}{\partial r} + \frac{1}{r^2} \frac{\partial^2 \varphi}{\partial \vartheta^2}, & \sigma_\vartheta = \frac{\partial^2 \varphi}{\partial r^2}, \\ \tau_{r\vartheta} = \frac{1}{r^2} \frac{\partial \varphi}{\partial \vartheta} - \frac{1}{r} \frac{\partial^2 \varphi}{\partial r \partial \vartheta} = -\frac{\partial}{\partial r} \left( \frac{1}{r} \frac{\partial \varphi}{\partial \vartheta} \right). \end{cases} \quad (6.92)$$

Nüüd Laplace'i operaator

$$\nabla^2 = \left( \frac{\partial^2}{\partial x^2} + \frac{\partial^2}{\partial y^2} \right) = \left( \frac{\partial^2}{\partial r^2} + \frac{1}{r} \frac{\partial}{\partial r} + \frac{1}{r^2} \frac{\partial^2}{\partial \vartheta^2} \right) \quad (6.93)$$

### ***6.10.2. Deformatsioonikomponendid polaarkoordinaatides***

ja biharmooniline võrrand

$$\nabla^4 \varphi = \left( \frac{\partial^2}{\partial r^2} + \frac{1}{r} \frac{\partial}{\partial r} + \frac{1}{r^2} \frac{\partial^2}{\partial \vartheta^2} \right)^2 \varphi = 0. \quad (6.94)$$

Kui pingekomponendid ja seega ka  $\varphi$  sõltuvad vaid koordinaadist  $r$ , siis saab võrrandi (6.94) üldlahendi esitada kujul

$$\varphi = A \ln r + B r^2 \ln r + C r^2 + D. \quad (6.95)$$

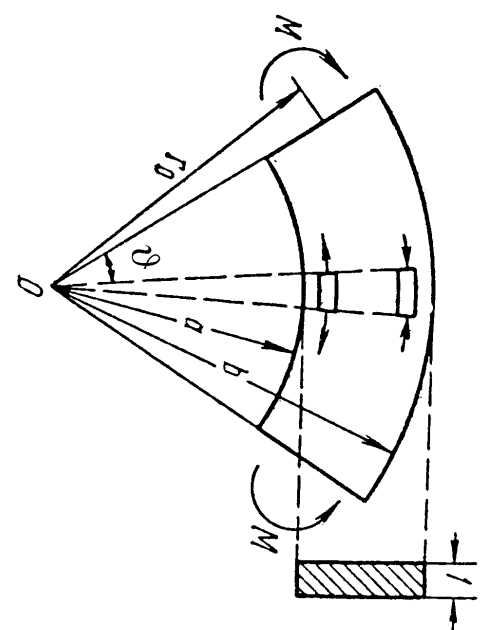
## **6.10.2 Deformatsioonikomponendid polaarkoordinaatides**

$$\begin{cases} \varepsilon_r = \frac{\partial u}{\partial r}, & \varepsilon_\vartheta = \frac{u}{r} + \frac{1}{r} \frac{\partial v}{\partial \vartheta}, \\ \gamma_{r\vartheta} = \frac{1}{r} \frac{\partial u}{\partial \vartheta} + \frac{\partial v}{\partial r} - \frac{v}{r}. \end{cases} \quad (6.96)$$

Sin mõistetakse suurusi  $u$  ja  $v$  kui radiaalset ja tangentsiaalset siirdekomponenti. Hooke'i seaduse kuju jäab endiseks:

$$\varepsilon_r = \frac{1}{E} (\sigma_r - \nu \sigma_\vartheta), \quad \varepsilon_\vartheta = \frac{1}{E} (\sigma_\vartheta - \nu \sigma_r), \quad \gamma_{r\vartheta} = \frac{\tau_{r\vartheta}}{G}. \quad (6.97)$$

Sirete määramine toimub analoogiliselt DRK-ga.



Joonis 6.27: Kõvera tala paine.

Näiteena vaatleme kõvera tala puhist painet, st. vaatleme tala, mis paindub kõverustasapinnas otstesse rakendatud momentide  $M$  mõjul. Sel juhul jäab painemoment konstantseks kogu varda pikkuse ulatuses, järelikult sõltub pinge vaid radiaalkoordinaadist  $r$ . Seega saab kasutada lahendit (6.95).

### 6.11. Kõvera tala paine

Rajatingimused:

$$\begin{cases} \sigma_r = 0, & r = a, \quad r = b, \\ \int_a^b \sigma_\vartheta dr = 0, & \int_a^b \sigma_\vartheta r dr = -M \\ \tau_{r\vartheta} = 0, & \text{kõgil rajapindadel.} \end{cases} \quad (6.98)$$

Pärast rajatingimuste (6.98) rahuldamist ja tähistuse

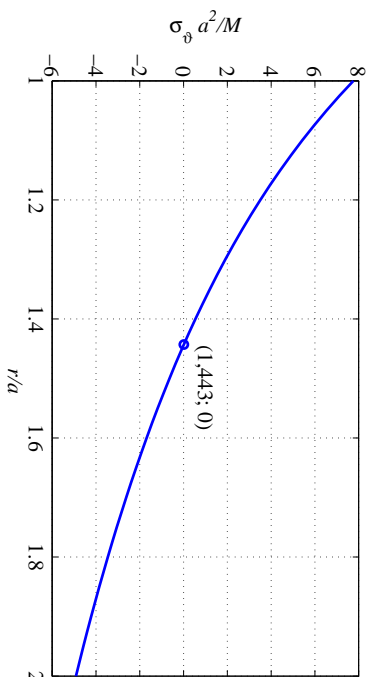
$$N = (b^2 - a^2)^2 - 4a^2b^2 \ln^2 \frac{b}{a} \quad (6.99)$$

sissetoomist saame

$$\begin{cases} \sigma_r = -\frac{4M}{N} \left( \frac{a^2b^2}{r^2} \ln \frac{b}{a} + b^2 \ln \frac{r}{b} + a^2 \ln \frac{a}{r} \right), \\ \sigma_\vartheta = -\frac{4M}{N} \left( -\frac{a^2b^2}{r^2} \ln \frac{b}{a} + b^2 \ln \frac{r}{b} + a^2 \ln \frac{a}{r} + b^2 - a^2 \right), \\ \tau_{r\vartheta} = 0. \end{cases} \quad (6.100)$$

Lahend on täpne vaid siis kui pingajaotus otspindadel vastab avaldisele (6.100)<sub>2</sub>. Muil juhtudel tuleb rakendada Saint-Venanti printsipi.

Joonisel 6.28 on esitatud suurused  $\sigma_\vartheta a^2/M$  ja  $\sigma_r a^2/M$  sõltuvana suhtest  $r/a$  juhul kui  $b/a = 2$ .



Joonis 6.28: Pingete jaotus kõvera tala paindel.

Järeltused: 1)  $\sigma_r > 0$  iga  $r$  puhul vaadeldavas piirkonnas; 2) neutraalne telg vastab  $r/a = 1,443$  ja  $\max \sigma_\vartheta > |\min \sigma_\vartheta|$ ; 3)  $\sigma_r$  maksimum ei asu neutraalsel teljel.

### 6.12 Pöörlev ketas

Teiseks näiteks polaarkoordinaatide puhul on pöörleva ketta ülesanne. Vaatleme pöörlevat ketast, mis pöörleb jäeva nurkkiirusega  $\omega$ . Ketta paksuse loeme raadiusega vörreldes väikeseks. Ainsaks mahujõuks (mida arvesse võtame) on inertsjöud, st.  $f_r = \rho \omega^2 r$  ja  $f_\vartheta = 0$ . Antud juhul on tegu nn. polaarsümmeetriilise ülesandega, kus  $\sigma_r$  ja  $\sigma_\vartheta$  sõltuvad vaid koordinaadist  $r$  ja seega valemi (6.92) põhjal  $\tau_{r\vartheta} = 0$ . Teine tasakaaluvõrrandeist (6.91) on antud juhul automaatselt rahuldatud ja esimesele saab anda kuju

$$\frac{d}{dr}(r\sigma_r) - \sigma_\vartheta + \rho \omega^2 r^2 = 0. \quad (6.101)$$

Kuna ka  $\varepsilon_r$  ja  $\varepsilon_\vartheta$  on vaid  $r$  funktsioonid, siis (6.96) põhjal

$$\varepsilon_r = \frac{\partial u}{\partial r}, \quad \varepsilon_\vartheta = \frac{u}{r}. \quad (6.102)$$

Hooke'i seadusesest (6.97)

$$\sigma_r = \frac{E}{1 - \nu^2}(\varepsilon_r - \nu \varepsilon_\vartheta), \quad \sigma_\vartheta = \frac{E}{1 - \nu^2}(\varepsilon_\vartheta - \nu \varepsilon_r). \quad (6.103)$$

Asendades nüüd deformatsioonikomponendid (6.102) Hooke'i seadusse (6.103) ning viimase omakorda tasakaaluvõrrandisse (6.101) saame diferentsiaalvõrrandi siirdekomponendi  $u$  määramiseks:

$$r^2 \frac{d^2 u}{dr^2} + r \frac{du}{dr} - u = -\frac{1-\nu^2}{E} \rho \omega^2 r^3. \quad (6.104)$$

Selle diferentsiaalvõrrandi üldlahend avaldub kujul

$$u = \frac{1}{E} \left[ (1-\nu)Cr - (1+\nu)C_1 \frac{1}{r} - \frac{1-\nu^2}{8} \rho \omega^2 r^3 \right]. \quad (6.105)$$

Vastavad pingekomponendid

$$\begin{cases} \sigma_r = C + C_1 \frac{1}{r^2} - \frac{3+\nu}{8} \rho \omega^2 r^2, \\ \sigma_\vartheta = C - C_1 \frac{1}{r^2} - \frac{1+3\nu}{8} \rho \omega^2 r^2. \end{cases} \quad (6.106)$$

Konstandid  $C$  ja  $C_1$  määratatakse rajatingimustest.

Täisketta (ilmata auguta keskel) puhul vastab  $r = 0$  siire  $u = 0$ , seega  $C_1 = 0$ . Ketta serval  $r = b$  jõudude puudumisel  $\sigma_r = 0$ , seega

$$C = \frac{3+\nu}{8} \rho \omega^2 b^2. \quad (6.107)$$

### 6.12. Pöörlev ketas

Seega pingekomponendid

$$\begin{cases} \sigma_r = \frac{3+\nu}{8} \rho \omega^2 (b^2 - r^2) \\ \sigma_\vartheta = \frac{3+\nu}{8} \rho \omega^2 b^2 - \frac{1+3\nu}{8} \rho \omega^2 r^2 \end{cases} \quad (6.108)$$

Plaadi keskel on neil pingetel maksimaalne vääratus

$$\sigma_r = \sigma_\vartheta = \frac{3+\nu}{8} \rho \omega^2 b^2. \quad (6.109)$$

Kui ketta keskel on ava raadiusega  $a$ , siis konstandid  $C$  ja  $C_1$  määratatakse raja-tingimustest  $\sigma_r|_{r=a} = \sigma_r|_{r=b} = 0$  —

$$C = \frac{3+\nu}{8} \rho \omega^2 (a^2 + b^2), \quad C_1 = -\frac{3+\nu}{8} \rho \omega^2 a^2 b^2. \quad (6.110)$$

Pingekomponandid

$$\begin{cases} \sigma_r = \frac{3+\nu}{8} \rho \omega^2 \left( b^2 + a^2 - \frac{a^2 b^2}{r^2} - r^2 \right), \\ \sigma_\vartheta = \frac{3+\nu}{8} \rho \omega^2 \left( b^2 + a^2 + \frac{a^2 b^2}{r^2} - \frac{1+3\nu}{3+\nu} r^2 \right). \end{cases} \quad (6.111)$$

Radiaalpinge  $\sigma_r$  on nüüd maksimaalne kohal  $r = \sqrt{ab}$  ja tangentsiaalpinge (rõngaspinge, i.k. *hoop stress*)  $\sigma_\vartheta$  sisemisel serval

$$\left\{ \begin{array}{l} \max \sigma_r = \frac{3+\nu}{8} \rho \omega^2 (b-a)^2, \\ \max \sigma_\vartheta = \frac{3+\nu}{4} \rho \omega^2 \left( b^2 + \frac{1-\nu}{3+\nu} a^2 \right). \end{array} \right. \quad (6.112)$$

Kui  $a \rightarrow 0$ , siis  $\max \sigma_\vartheta$  läheneb väärtsusele, mis on kaks korda suurem kui aavlissega (6.109) esitatud väärthus. Seega kui teha täisketta tsentrisse väike ava, siis suureneneb tangentsiaalpinge plaadi tsentris kaks korda.

### *6.13. Radiaalne pingus.*

Küllaltki tihti esineb ülesandeid, kus igas keha punktis on nullist erinev vaid radiaalne pinge  $\sigma_r$ . Sellist pingust nimetatakse *radiaalseks pinguseks*.

Antud juhul saab esitada pinge  $\sigma_r(r, \vartheta)$  kahe funktsiooni korruutisena:

$$\sigma_r(r, \vartheta) = \varphi(r)\psi(\vartheta). \quad (6.113)$$

Pannes viimase tasakaalu- ja pidevusvõrrandisse ning integreerides, saame radialse pinguse jaoks pingekomponentide avaldised

$$\sigma_r(r, \vartheta) = -\frac{k}{r} \cos(\vartheta - \vartheta_0), \quad \sigma_\vartheta = \tau_{r\vartheta} = 0, \quad (6.114)$$

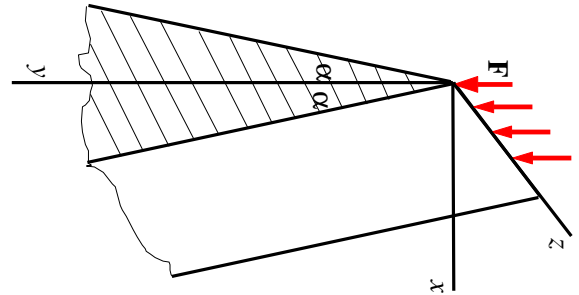
kus integreerimiskonstandid  $k$  ja  $\vartheta_0$  määratakse rajatingimustest.

## 6.14 Kiilu surve.

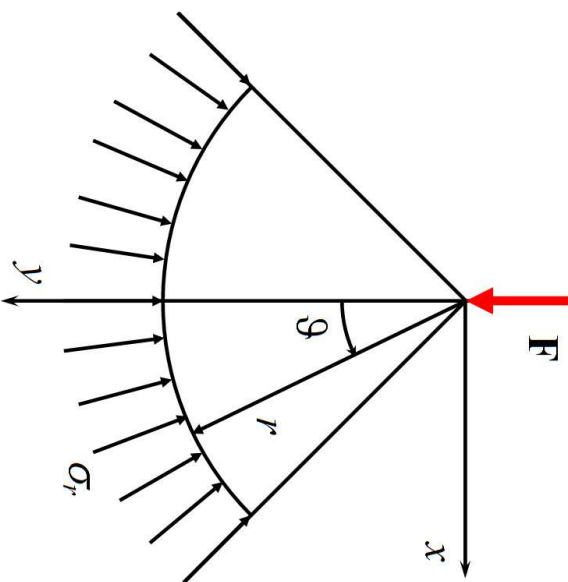
### 6.14. Kiilu surve.

6 - 78

Joonis 6.29: Süümmeetriatasandis mõjuv jõud.



Vaatleme lõpmata pikka süümmeetrilist kiili (joonis 6.29), mille sümmeetriatasandis mõjub joonkoormus  $\mathbf{F}$ . Kiili tipunurga tähistame  $2\alpha$ . Analoogiliselt tugiseina arvutusega, hülgame rajatingimused kiili alaservas ja vaatleme  $0 \leq y \leq \infty$ .



Joonis 6.30: Süümmeetrilisele kiilule mõjuv jõud, radiaalne pinge, polaar ja ristkoordinaatid.

Võtame kasutusele polaarkoordinaadid  $r$  ja  $\vartheta$  (joonis 6.30). Sellisel juhul on tegu radiaalse pingusega ja pingekomponendid on esitatavad kujul (6.114). Konstantide  $k$  ja  $\vartheta_0$  määrmiseks tulub kõik joonisel 6.30 kujutatud jõud (ja pinged) projekteerida koordinaatide  $r$  ja  $\vartheta$  (või  $x$  ja  $y$  sihile). Kuna välisjõud on vaadeldaval juhul vertikaalne (ja mõjub sümmeetriatasandis), siis on konstant  $\vartheta_0 = 0$ . Konstandi  $k$  määramiseks projekteeritakse  $\mathbf{F}$  ja  $\sigma_r$   $y$ -teljele:

$$F - \int_{-\alpha}^{\alpha} \sigma_r(\cos \vartheta) r d\vartheta = 0, \quad (6.115)$$

kust arvestades (6.114) saame

$$F - \int_{-\alpha}^{\alpha} \frac{k}{r} \cos^2 \vartheta r d\vartheta = 0, \quad \Rightarrow \quad k = \frac{2F}{2\alpha + \sin 2\alpha}. \quad (6.116)$$

Kokku saame seega lahendi kujul:

$$\sigma_r = -\frac{2F}{2\alpha + \sin 2\alpha} \frac{\cos \vartheta}{r}, \quad \sigma_\vartheta = \tau_{r\vartheta} = 0. \quad (6.117)$$

Kuna valemite (6.114) tuletamisel kasutati nii tasakaalu kui pidevuse võrrandeid, siis rahuldab ka vaadeldava ülesande lahend (6.117) nii tasakaalu kui pidevuse võrrandeid.

#### **6.14. Kiilu surve.**

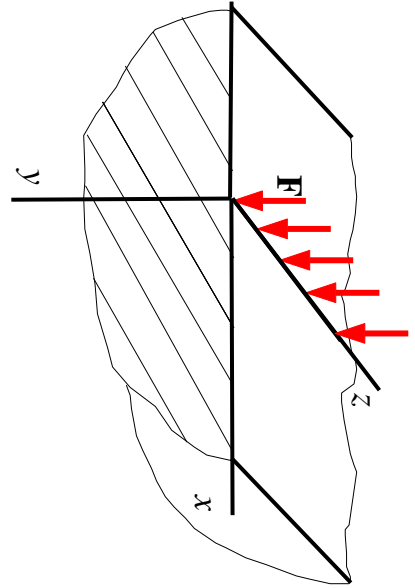
Praktiliste probleemide korral (vt. näiteks järgmist alajaotust) on siiski otstarbe kas kasutada koordinaate  $x$  ja  $y$ . Ülemineneks on järgmised valemid:

$$\begin{cases} \sigma_x = \sigma_r l^2 + \sigma_\vartheta m^2 + 2\tau_{r\vartheta} lm, \\ \sigma_y = \sigma_r l_1^2 + \sigma_\vartheta m_1^2 + 2\tau_{r\vartheta} l_1 m_1, \\ \tau_{xy} = \sigma_r ll_1 + \sigma_\vartheta mm_1 + \tau_{r\vartheta}(lm_1 + l_1 m), \end{cases} \quad (6.118)$$

$$\begin{cases} l = \cos(r, x) = \sin \vartheta, \\ m = \cos(\vartheta, x) = \cos \vartheta, \\ l_1 = \cos(r, y) = \cos \vartheta, \\ m_1 = \cos(\vartheta, y) = -\sin \vartheta \end{cases} \quad \begin{cases} r = \sqrt{x^2 + y^2}, \\ \sin \vartheta = \frac{x}{\sqrt{x^2 + y^2}}, \\ \cos \vartheta = \frac{y}{\sqrt{x^2 + y^2}}. \end{cases} \quad (6.119)$$

Kokku saame kolm koordinaatidele  $x$  ja  $y$  vastavat pingekomponenti

$$\sigma_x = -\frac{kx^2 y}{(x^2 + y^2)^2}, \quad \sigma_y = -\frac{ky^3}{(x^2 + y^2)^2}, \quad \tau_{xy} = -\frac{kxy^2}{(x^2 + y^2)^2}. \quad (6.120)$$



Joonis 6.31: Elastsele poolruumile mõjuv koondatud jõud. Vaadeldud ristikoodinaatides

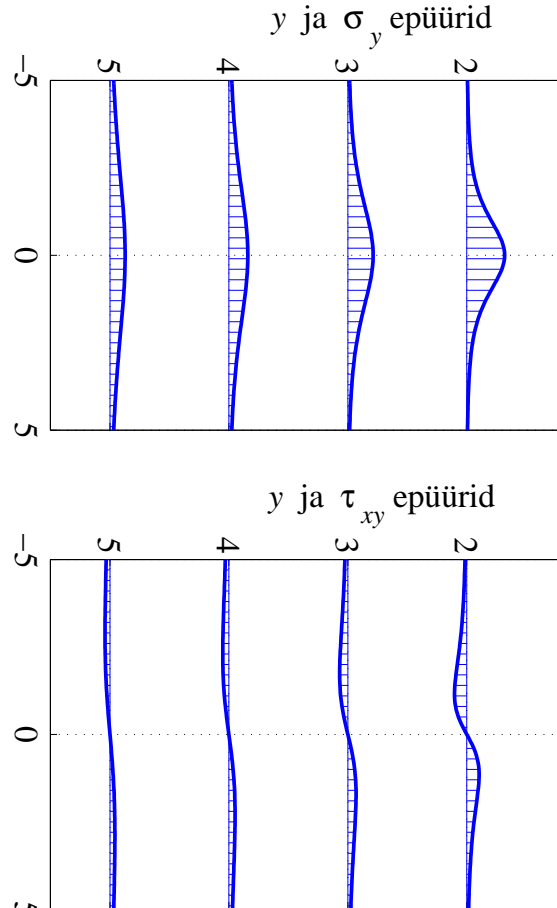
$$\sigma_x = -\frac{2Fx^2y}{\pi(x^2+y^2)^2}, \quad \sigma_y = -\frac{2Fy^3}{\pi(x^2+y^2)^2}, \quad \tau_{xy} = -\frac{2Fxy^2}{\pi(x^2+y^2)^2}. \quad (6.122)$$

### 6.15. Koondatud jõu mõju poolruumile

6 - 82

$F = 1$  kohal  $x = 0$

$F = 1$  kohal  $x = 0$



On selge, et vaadeldavas piirkonnas on normaalpinged negatiivsed iga  $x$  ja  $y$  korral, nihkepinge  $\tau_{xy}$  aga muudab jõu rakenduspunkti kovaloma märki: negatiivsete  $x$  korral on  $\tau_{xy} > 0$  ja positiivsete  $x$  korral on  $\tau_{xy} < 0$ .

Joonisel 6.32 on esitavad normaalpinge  $\sigma_y$  ja nihkepinge  $\tau_{xy}$  epiüürid koordinaadi  $y$  filkseeritud väärustel

Vaatleme elastset keskkonda, mis on pinnatud koordinaattasandiga  $(x, z)$  ja millele mõjub piki  $z$  telge rakendatud jõud  $\mathbf{F}$ . Selline ülesanne on tuntud *Flamant' ülesandena* ja ta kujutab endast eelmises alajaotuses vaadeldud kiilu ülesande erijuhtu, kus nurk  $\alpha = \pi/2$ . Järelkult konstant  $k = 2F/\pi$  ja pingekomponendid polaarkoodinaatides

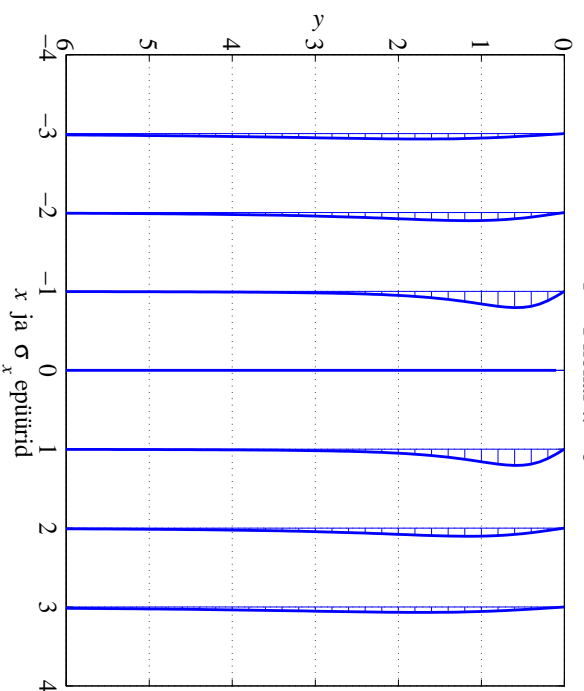
$$\sigma_r = -\frac{2F \cos \vartheta}{\pi r}, \quad \sigma_\vartheta = \tau_{r\vartheta} = 0 \quad (6.121)$$

Joonis 6.32: Normaalinge  $\sigma_y$  ja nihkepinge  $\tau_{xy}$  epiüürid koordinaadi  $y$  filkseeritud väärustel

$y_0 = 1, 2, \dots, 5$ .

Joonis 6.32: Normaalinge  $\sigma_y$  ja nihkepinge  $\tau_{xy}$  epiüürid koordinaadi  $y$  filkseeritud väärustel

naadi  $y$  filkseeritud väärustuse jaoks kohal  $x = 0$  mõjuva ühikulise jõu  $\mathbf{F}$  korral.



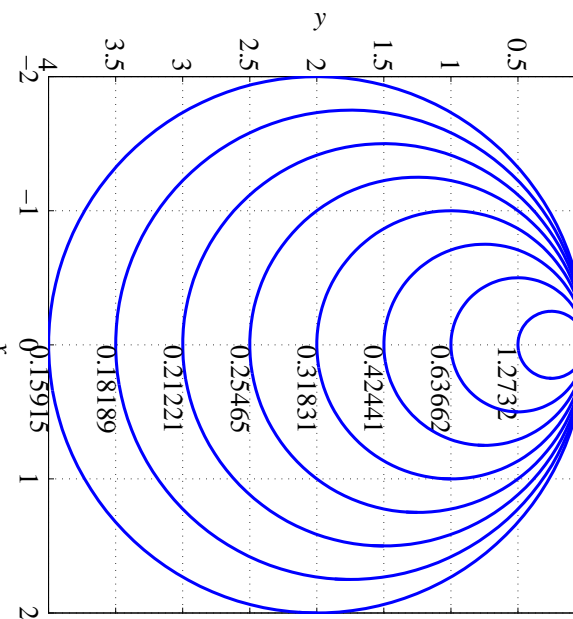
Joonis 6.33: Normaalpinge  $\sigma_x$  epüürid koordinaadi  $x$  fikseeritud mõjuva ühikulise jõu  $\mathbf{F}$  korral.

Joonisel 6.33 on esitatud normaalpinge  $\sigma_x$  epüürid koordinaadi  $x$  fikseeritud väärustuste  $x_0 = -3, -2, -1, 1, 2, 3$  jaoks.

Fikseeritud  $y$  korral omab normaalpinge  $\sigma_y$  ekstreemaalset väärustust kohal  $x = 0$ , ja nihkepinge  $\tau_{xy}$  kohal  $|x| = y_0/\sqrt{3}$ . Analoogiliselt, fikseeritud  $x$  korral omab  $\sqrt$  normaalpinge  $\sigma_x$  ekstreemaalset väärustust kohal  $y = x_0/\sqrt{3}$ .

### 6.15. Koondatud jõu mõju poolruumile

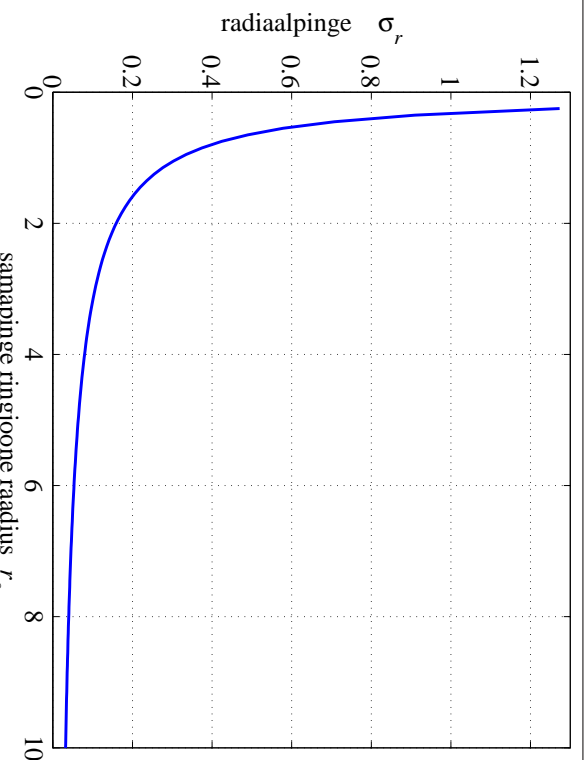
Samapinge jooned radiaalpingele  $\sigma_r$ ;  $F = 1$



Joonis 6.34: Radiaalpinge  $\sigma_r$  samapinge jooned kohal  $x = 0$  mõjuva ühikjõu  $\mathbf{F}$  korral.

Joonisel 6.34 on esitatud radiaalpinge  $\sigma_r$  samapinge jooned — ringjoonel raadius  $r_0$  on radiaalpinge  $\sigma_r = -F/\pi r_0$ . Kõik sellised ringjooned puutuvad  $x$ -telge  $jõu \mathbf{F}$  rakenduspunktis.

Sellise graaflike radiaalpinge esituse andis esmakordelt Joseph Boussinesq ning seeetõttu nimetatakse neid ringe *Boussinesqi ringideks*.



Joonis 6.35: Radiaalpinge  $\sigma_r$  sõltuvana samapinge joone raadiusest  $r_0$ .

Joonisel 6.35 on näidatud kuidas sõltub radiaalpinge  $\sigma_r$  samapinge joone raadiusest  $r_0$ .

### 6.15. Koondatud jõu mõju poolruumile

6 - 86

Valemeid (6.121) ja (6.122) võib kasutada selleks, et hinnata vundamendialuseid pingeid pinnases. Kuigi pinnas üldiselt ei käitu elaststelt, on siiski leitud, et väikeste sisepingete korral on kõigil pinnastel rakendatav lineaarne elastsustearia.

Eelpool vaadeldud lahend on lihtsalt üldistatav suvalise joonkoormuse  $p(x)$  jaoks, mis mõjub lõigul  $[a, b]$ . Esmalt vaatleme juhtu, kus koondatud jõud  $\mathbf{F}$  ei mõju mitte koordinaatide alguses, vaid punktis  $x = x_0$ . Sel juhul saavad valemid (6.122) kuju

$$\sigma_x = -\frac{2F\xi^2y}{\pi(\xi^2 + y^2)^2}, \quad \sigma_y = -\frac{2Fy^3}{\pi(\xi^2 + y^2)^2}, \quad \tau_{xy} = -\frac{2F\xi y^2}{\pi(\xi^2 + y^2)^2} \quad (6.123)$$

kus  $\xi = x - x_0$ .

Selleks, et arvutada lõigul  $a \leq x \leq b$  mõjuvast joonkoormusest  $p(x)$  põhjustatud pingeid, tuleb saadud valemites teha asendus  $F = p(\xi)d\xi$  ja integreerida lõigul  $[a, b]$ .

Juhul kui  $p = \text{const.}$ , saame

$$\begin{aligned} \sigma_x &= -\frac{2p}{\pi} \int_{x=a}^{x=b} \frac{\xi^2 y}{(\xi^2 + y^2)^2} d\xi = -\frac{p}{\pi} \left( \arctan \frac{\xi}{y} - \frac{y\xi}{\xi^2 + y^2} \right) \Big|_{x=a}^{x=b} = \\ &= -\frac{p}{\pi} \left[ \arctan \frac{(x-b)}{y} - \arctan \frac{(x-a)}{y} - \frac{y(x-b)}{(x-b)^2 + y^2} + \frac{y(x-a)}{(x-a)^2 + y^2} \right], \end{aligned} \quad (6.124)$$

$$\begin{aligned} \sigma_y &= -\frac{2p}{\pi} \int_{x=a}^{x=b} \frac{y^3}{(\xi^2 + y^2)^2} d\xi = -\frac{p}{\pi} \left( \arctan \frac{\xi}{y} + \frac{y\xi}{\xi^2 + y^2} \right) \Big|_{x=a}^{x=b} = \\ &= -\frac{p}{\pi} \left[ \arctan \frac{(x-b)}{y} - \arctan \frac{(x-a)}{y} + \frac{y(x-b)}{(x-b)^2 + y^2} - \frac{y(x-a)}{(x-a)^2 + y^2} \right], \end{aligned} \quad (6.125)$$

### 6.15. Koondatud jõu mõju poolruumile

6 - 88

$$\begin{aligned} \tau_{xy} &= -\frac{2p}{\pi} \int_{x=a}^{x=b} \frac{\xi y^2}{(\xi^2 + y^2)^2} d\xi = \frac{p}{\pi} \frac{y^2}{\xi^2 + y^2} \Big|_{x=a}^{x=b} = \\ &= \frac{p}{\pi} \left[ \frac{y^2}{(x-b)^2 + y^2} - \frac{y^2}{(x-a)^2 + y^2} \right]. \end{aligned} \quad (6.126)$$

Saadud valemite (6.124)–(6.126) abil on võimalik hinnata pingeid vundamendi alluses pinnases.

Jaan Metsaveere koostatud õpplevahendis<sup>4</sup> on välja pakutud alternatiivne valem

$$\sigma_y^* = \frac{p}{\pi \sqrt{a^2 - x^2}}, \quad (6.127)$$

kus  $p$  on alusmüüri pikkusühikule mõjuv koormus,  $2a$  vundamendi pikkus ja  $-a \leq x \leq a$ . See valem baseerub ideel määratava vundamendi ja pinnase vaheline rõhk, mis põhjustab ühtlase vertikaalsirde kogu vundamendi ulatuses. Viimase valemi põhjal peaks vundamendi servades  $x = \pm a$  tekkima lõpmata suured pinged. Tegelikuses selline olukord ei realiseeru — juba suhteliselt väikeste pingete juures tekkivad  $x = \pm a$  ümbruses plastised deformatioonid ning tegelik pingegaotus on tunduvalt ühtlasem.

**Ülesanne.** Poolruumile mõjub lõigul  $-5 \leq x \leq 5$  kontsantne joonkoormus  $p = 1$ . Leida normaalpinged  $\sigma_x$ ,  $\sigma_y$  ja  $\tau_{xy}$  koordinaatide  $x$  ja  $y$  fikseeritud väärustuse jaoks kasutades eelmises alajaotuses toodud valemeid.

### Lahendus.

1. Normaalpinge  $\sigma_y$  arvutamiseks saab kasutada valemeid (6.125), (6.123)<sub>2</sub> või (6.127).

- Valem (6.125) võimaldab leida pinge  $\sigma_y$  väärustusi iga  $y$  ja  $x$  jaoks.
- Valemi (6.123)<sub>2</sub> rakendamiseks tuleb lõik  $-5 \leq x \leq 5$  jagada  $n$  vordseks osalõiguks pikkusega  $\Delta x = 2a/n$  ja joonkoormus  $n+1$  koondatud jõuks. Osalõikude otstes  $x_i = -a + i\Delta x$ , ( $i = 0, \dots, n$ ) mõjuvad sel juhul koondatud jõud  $F_i = 2ap/(n+1)$ . Iga jõud  $F_i$  põhjustab pinge  $\sigma_y(F_i)$ . Seega, rakendades superpositsiooni printsipi, avaldub  $n+1$  jõust põhjustatud pinge summana  $\sigma_y = \sum_{i=0}^n \sigma_y(F_i)$ .
- Valem (6.127) on mõeldud pingete arvutamiseks vahetult vundamendi all ning seetõttu pole seal koordinaati  $y$ .

### 6.16. Näide: joonkoormuse mõju poolruumile

6 - 90

1. Tulemused on esitatud joonistel 6.36–6.38. Joonisel 6.36 on osalõikude arv  $n = 100$ , joonisel 6.37  $n = 20$  ja joonisel 6.38  $n = 10$ . Punane punktiirjoon vastab valemile (6.125), violetne kriipsjoon valemile (6.127) ja sinine pidev joon valemile (6.123)<sub>2</sub>.

2. Nihkepinge  $\tau_{xy}$  arvutamiseks saab kasutada valemeid (6.126) või (6.123)<sub>3</sub>.
  - Valemi (6.126) abil leida pinge  $\tau_{xy}$  väärusti iga  $y$  ja  $x$  jaoks.
  - Analoogiliselt normaalpingega  $\sigma_y$ , tuleb valemi (6.123)<sub>3</sub> rakendamiseks lõik  $-5 \leq x \leq 5$  jagada  $n$  vordseks osalõiguks ja joonkoormus  $n+1$  koondatud jõuks. Kokku saame nüüd  $\tau_{xy} = \sum_{i=0}^n \tau_{xy}(F_i)$ .
  - Tulemused on esitatud joonistel 6.36–6.38. Joonisel 6.36 on osalõikude arv  $n = 100$ , joonisel 6.37  $n = 20$  ja joonisel 6.38  $n = 10$ . Punane punktiirjoon vastab valemile (6.126) ja sinine pidev joon valemile (6.123)<sub>3</sub>.

3. Normaalpinge  $\sigma_x$  arvutamiseks saab kasutada valemeid (6.124) või (6.123)<sub>1</sub>.

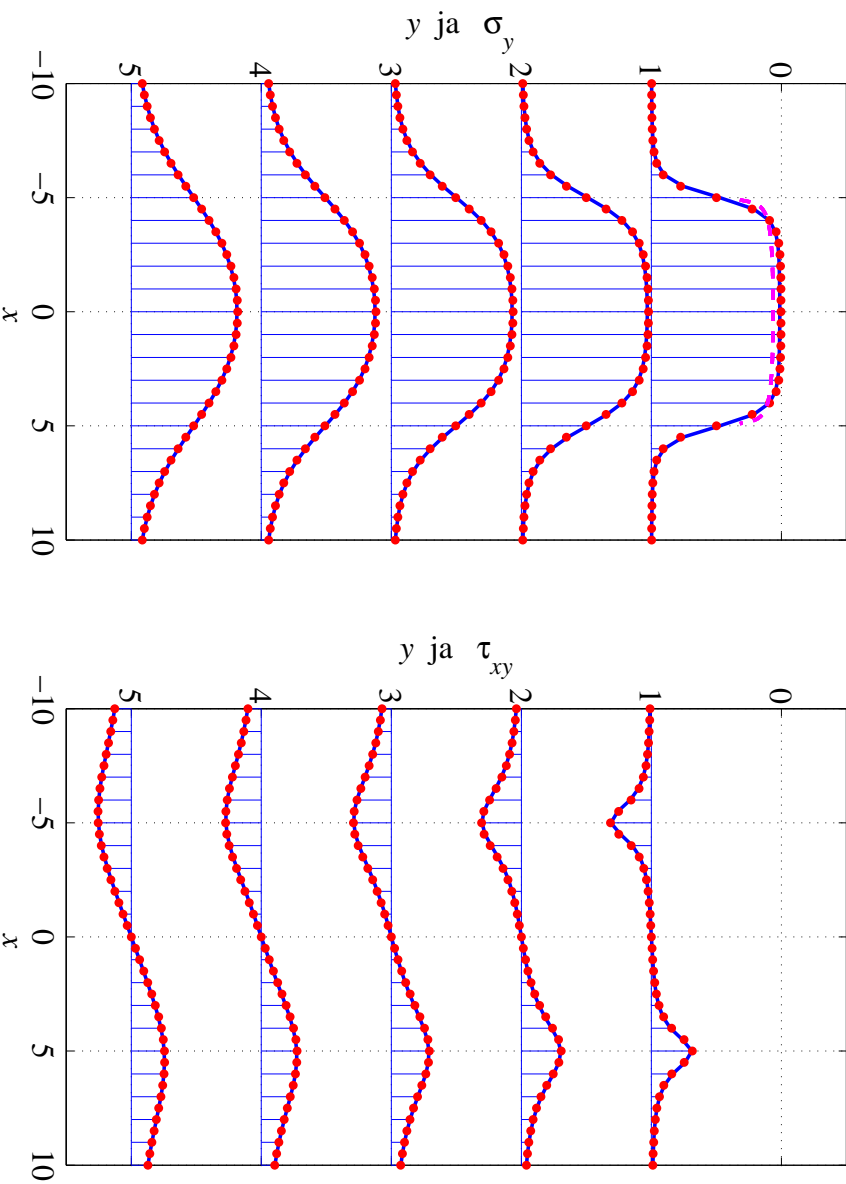
- Valemitte (6.124) ja (6.123)<sub>1</sub> kasutamise põhimõtted on samad, mis eelnevatel juhtudel.

• Tulemused on esitatud joonistel 6.39–6.41. Joonisel 6.39 on osaloikude arv  $n = 100$ , joonisel 6.40  $n = 20$  ja joonisel 6.41  $n = 10$ . Punane punktirjoon vastab valemile (6.124) ja sinine pidev joon valemile (6.123)<sub>1</sub>.

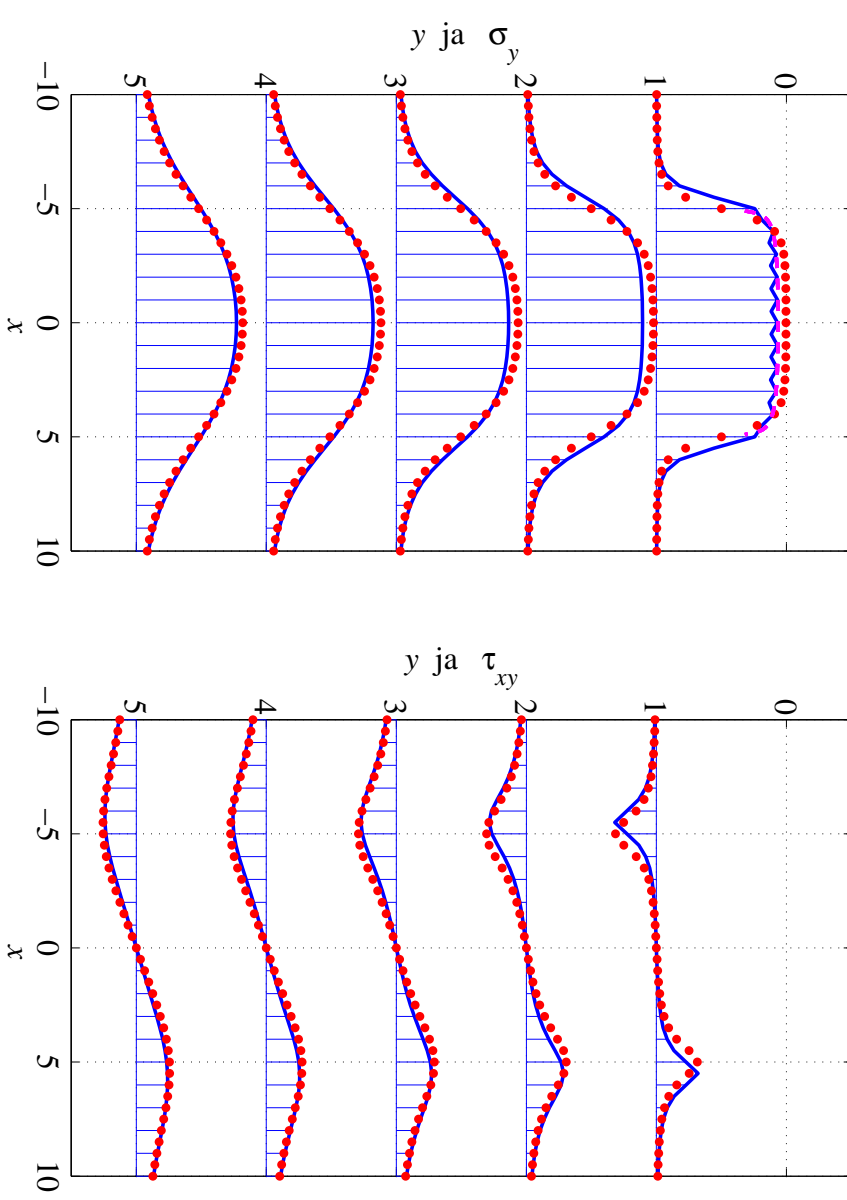
4. Joonistel 6.42–6.44 on lisaks esitatud samapingejooned pingetele  $\sigma_x$ ,  $\sigma_y$  ja  $\tau_{xy}$  piirkonnas  $-10 \leq x \leq 10$ ,  $0 < y \leq 5$ .

6.16. Näide: joonkoormuse mõju poolruumile

6 - 92



Joonis 6.36: Normaalpinge  $\sigma_y$  ja nihkepinge  $\tau_{xy}$  epüürid koordinaadi  $y$  fiksseeritud väärustele jaoks lõigul  $-5 \leq x \leq 5$  mõjuva ühikulise joonkoormuse korral, osalõikude arv  $n = 100$ .

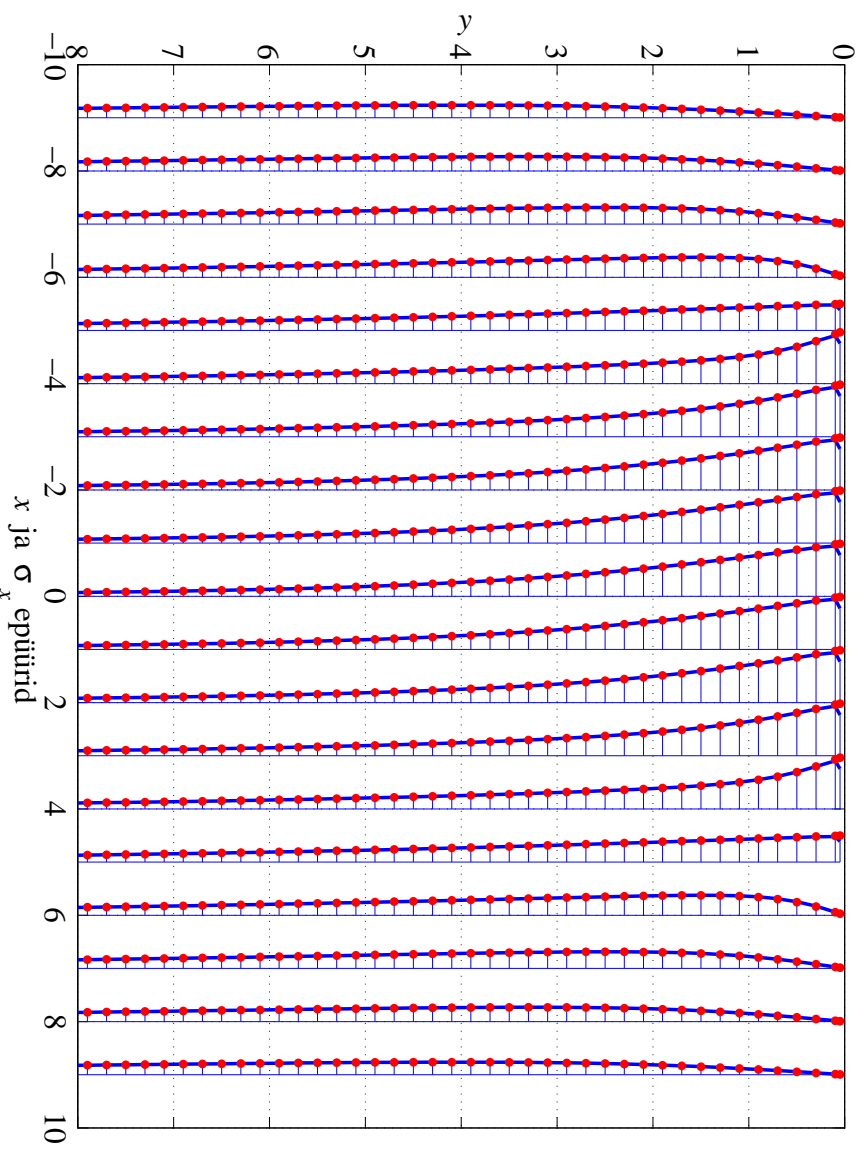


Joonis 6.38: Normaapinge  $\sigma_y$  ja nihkepinge  $\tau_{xy}$  epüürid koordinaadi  $y$  fikseeritud väärustuste jaoks lõigul  $-5 \leq x \leq 5$  mõjuva ühikulise joonkoormuse korral, osalõikude arv  $n = 10$ .

### 6.16. Näide: joonkoormuse mõju poolruumile

6 - 94

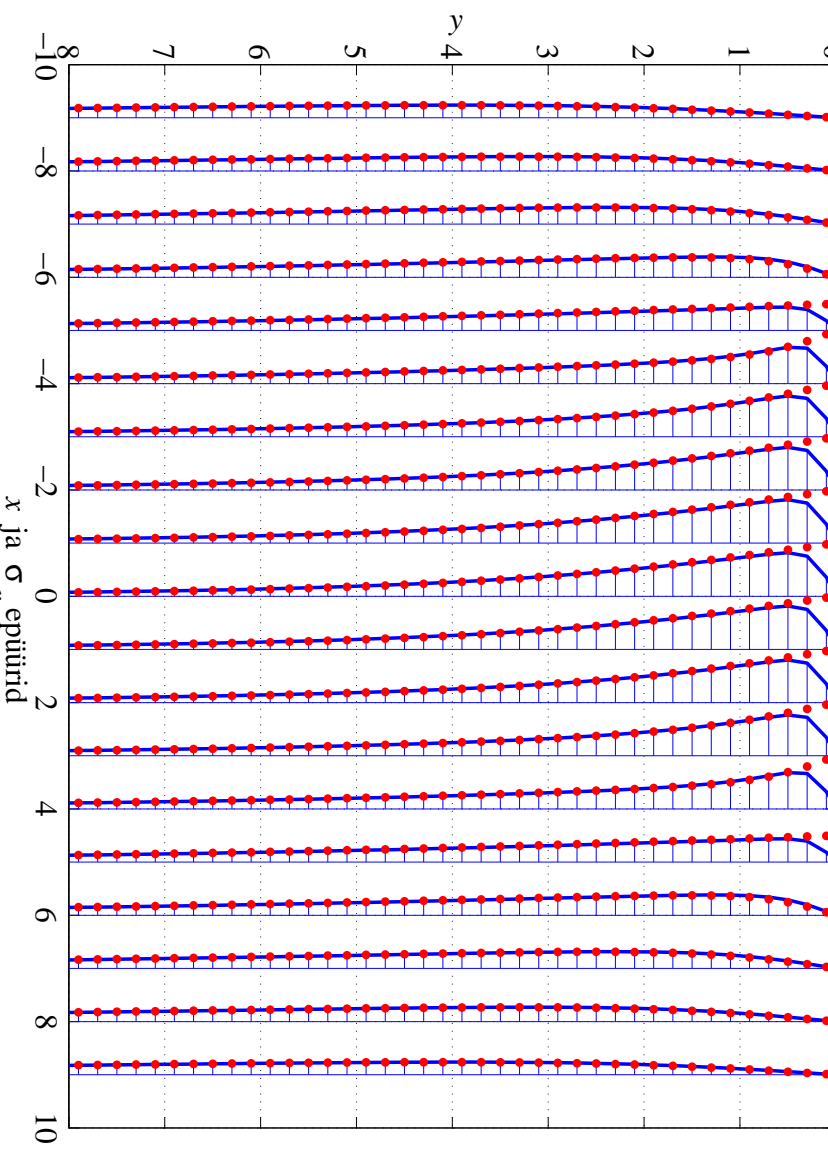
Joonis 6.37: Normaapinge  $\sigma_y$  ja nihkepinge  $\tau_{xy}$  epüürid koordinaadi  $y$  fikseeritud väärustuste jaoks lõigul  $-5 \leq x \leq 5$  mõjuva ühikulise joonkoormuse korral, osalõikude arv  $n = 20$ .



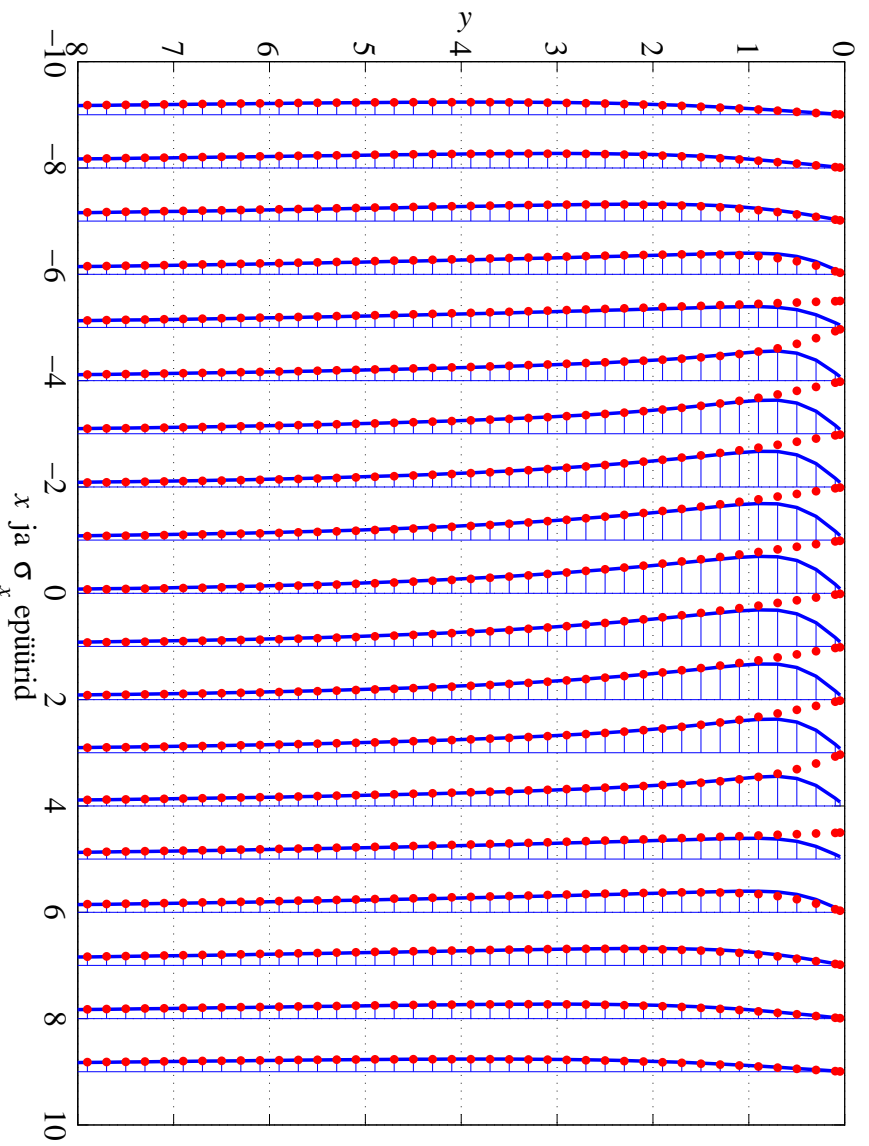
Joonis 6.39: Normaapinge  $\sigma_x$  epüürid koordinaadi  $x$  fikseeritud väärustega jaoks lõigul  $-5 \leq x \leq 5$  mõjuva ühikulise joonkoormuse korral, osalõikude arv  $n = 100$ .

### 6.16. Näide: joonkoormuse mõju poolruumile

6 - 96



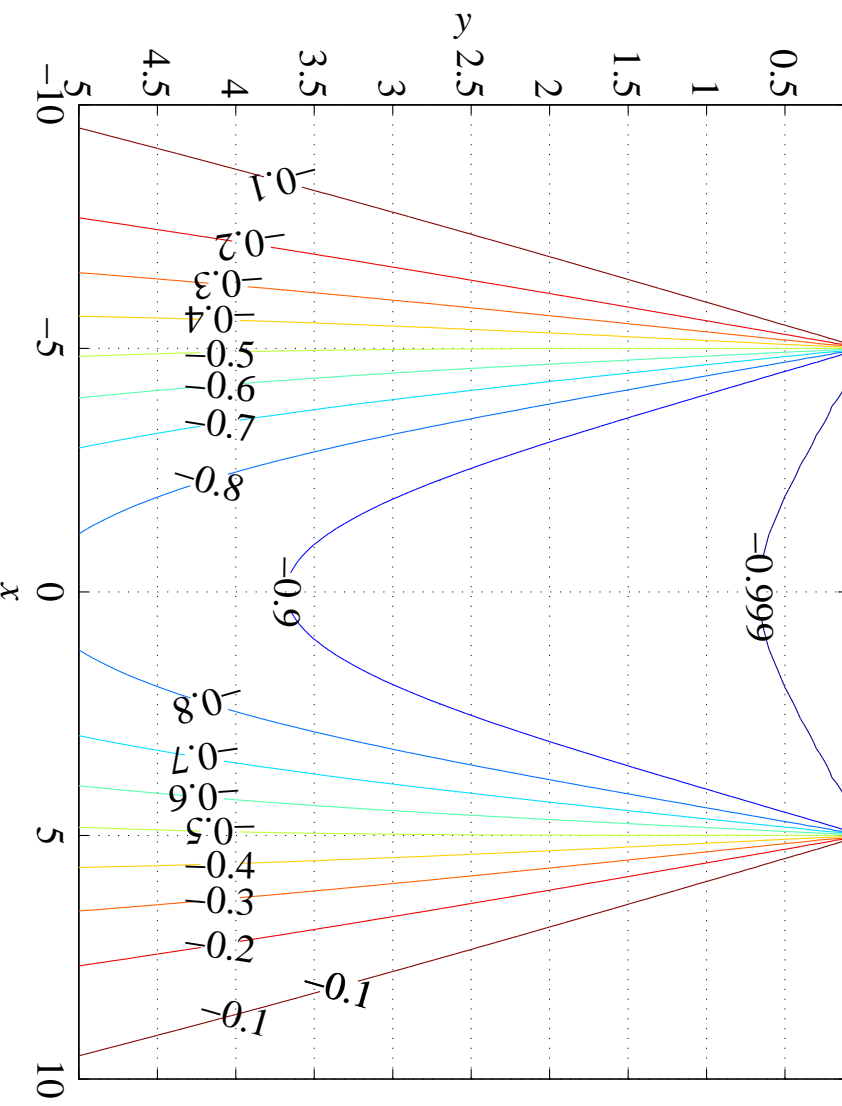
Joonis 6.40: Normaapinge  $\sigma_x$  epüürid koordinaadi  $x$  fikseeritud väärustega jaoks lõigul  $-5 \leq x \leq 5$  mõjuva ühikulise joonkoormuse korral, osalõikude arv  $n = 20$ .



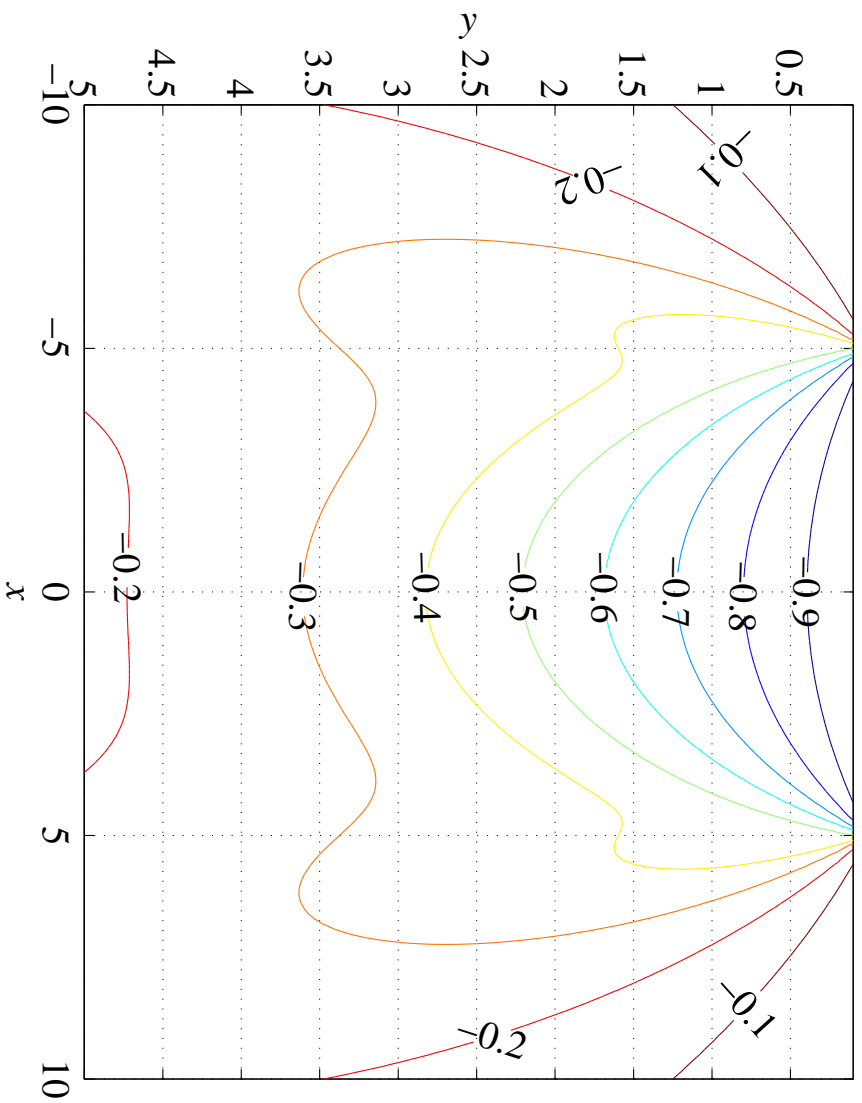
Joonis 6.41: Normaapinge  $\sigma_x$  epüürid koordinaadi  $x$  fikseeritud väärustega jaoks lõigul  $-5 \leq x \leq 5$  mõjuva ühikulise joonkoormuse korral, osalõikude arv  $n = 10$ .

### 6.16. Näide: joonkoormuse mõju poolruumile

6 - 98



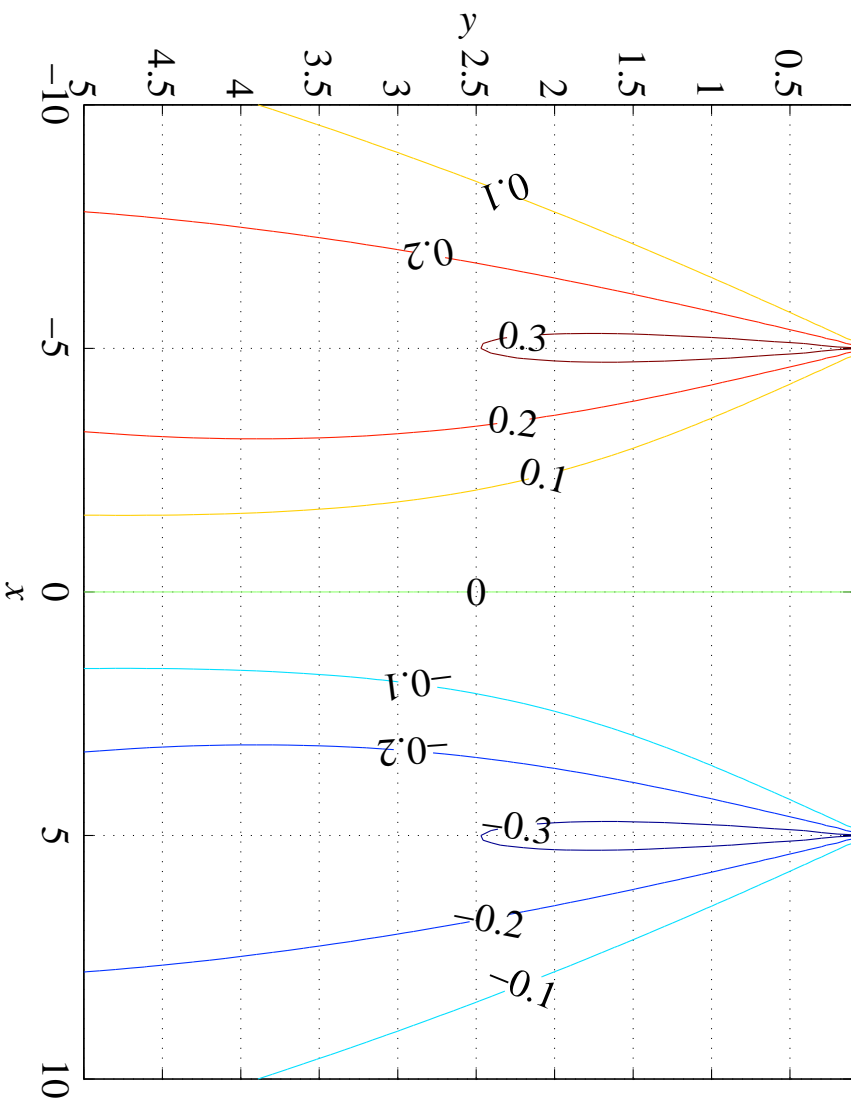
Joonis 6.42: Samapingejooned normaapinge  $\sigma_y$  jaoks.



Joonis 6.43: Samapingejooned normaapinge  $\sigma_x$  jaoks.

**6.16. Näide: joonkoormuse mõju poolruumile**

6 - 100



Joonis 6.44: Samapingejoonid nihkepinge  $\tau_{xy}$  jaoks.

# Sisukord

<b>6 Elastsusteooria tasandülesanne</b>	<b>1</b>
6.1 Tasanddülesande mõiste . . . . .	2
6.2 Tasanddeformatsioon . . . . .	3
6.3 Tasandpingus . . . . .	8
6.4 Tasandülesande lahendamine pingetes . . . . .	9
6.5 Biharmoonilise võrrandi lahendamine polünoomides . . . . .	14
6.6 Konsooli paine . . . . .	24
6.7 Ühtlaselt koormatud tala paine . . . . .	44
<i>Sisukord</i>	<i>6 - 102</i>
6.8 Hüdrostaatiliselt koormatud tugiseina arvutus. . . . .	58
6.9 Hüdrostaatiliselt koormatud vertikaalne konsool . . . . .	64
6.10 Tasapinnalised ülesanded polaarkoordinaatides . . . . .	66
6.10.1 Tasakaaluvõrrandid ja Airy' pingefunktsioon . . . . .	66
6.10.2 Deformatsioonikomponendid polaarkoordinaatides . . . . .	68
6.11 Kõvera tala paine . . . . .	69
6.12 Pöörlev ketas . . . . .	72
6.13 Radiaalne pingus. . . . .	76
6.14 Kiilu surve. . . . .	77
6.15 Koondatud jõu mõju poolruumile . . . . .	81
6.16 Näide: joonkoormuse mõju poolruumile . . . . .	89